

(19) 日本国特許庁(JP)

(12) 特 許 公 報(B2)

(11) 特許番号

特許第4740561号
(P4740561)

(45) 発行日 平成23年8月3日(2011.8.3)

(24) 登録日 平成23年5月13日(2011.5.13)

(51) Int.Cl. F I
G 0 6 F 9/45 (2006.01) G 0 6 F 9/44 3 2 2 G

請求項の数 5 (全 34 頁)

<p>(21) 出願番号 特願2004-203063 (P2004-203063) (22) 出願日 平成16年7月9日(2004.7.9) (65) 公開番号 特開2006-24088 (P2006-24088A) (43) 公開日 平成18年1月26日(2006.1.26) 審査請求日 平成19年7月3日(2007.7.3)</p> <p>(出願人による申告)平成15年度、独立行政法人新エネルギー・産業技術総合開発機構、「基盤技術研究促進事業(民間基盤技術研究支援制度)高信頼・低消費電力サーバの研究開発」委託研究、産業再生法第30条の適用を受ける特許出願</p>	<p>(73) 特許権者 000005223 富士通株式会社 神奈川県川崎市中原区上小田中4丁目1番1号 (74) 代理人 100089118 弁理士 酒井 宏明 (72) 発明者 岩下 英俊 神奈川県川崎市中原区上小田中4丁目1番1号 富士通株式会社内 審査官 坂庭 剛史</p>
--	--

最終頁に続く

(54) 【発明の名称】 トランスレータプログラム、プログラム変換方法およびトランスレータ装置

(57) 【特許請求の範囲】

【請求項1】

コンピュータに、並列言語プログラムを解析させ、複数のプロセッサで分散処理される逐次言語プログラムに変換させるトランスレータプログラムであって、

分散に関するパラメタである、分散種別を含む分散パラメタに値を設定するコードを生成する分散パラメタ設定手順と、

複数のプロセッサで共通して使用されるグローバルインデックスとローカルインデックスとを相互に変換する計算式を分散種別毎に記憶する記憶部から、前記分散パラメタ設定手順により生成されたコードにより値が設定される分散パラメタに対応した計算式を参照し、該参照した計算式および当該分散パラメタを用いて、ループで使用されるインデックスの範囲を示すループインデックスおよびループ内の配列で使用されるインデックスを示す配列インデックスについて、分散処理するプロセッサ内でローカル化処理を実行した結果として表されるコードを生成するインデックスローカル化手順と、

をコンピュータに実行させることを特徴とするトランスレータプログラム。

【請求項2】

前記インデックスローカル化手順は、前記ループインデックスが示す初期値および終値を含むループパラメタをローカル化するループパラメタローカル化手順と、ループ内で引用される変数を示すループ変数をグローバルインデックスに変換するループ変数変換手順をコンピュータに実行させることによってループインデックスについて、ローカル化処理を実行した結果として表されるコードを生成することを特徴とする請求項1に記載のトラ

ンスレータプログラム。

【請求項 3】

前記並列言語プログラムには、分散種別として不均等ブロック分散および不規則分散を指定可能であることを特徴とする請求項 1 または 2 に記載のトランスレータプログラム。

【請求項 4】

コンピュータが、並列言語プログラムを解析し、複数のプロセッサで分散処理される逐次言語プログラムに変換するプログラム変換方法であって、

分散に関するパラメタである、分散種別を含む分散パラメタに値を設定するコードを生成する分散パラメタ設定工程と、

複数のプロセッサで共通して使用されるグローバルインデックスとローカルインデックスとを相互に変換する計算式を分散種別毎に記憶する記憶部から、前記分散パラメタ設定工程により生成されたコードにより値が設定される分散パラメタに対応した計算式を参照し、該参照した計算式および当該分散パラメタを用いて、ループで使用されるインデックスの範囲を示すループインデックスおよびループ内の配列で使用されるインデックスを示す配列インデックスについて、分散処理するプロセッサ内でローカル化処理を実行した結果として表されるコードを生成するインデックスローカル化工程と、

を含んだことを特徴とするプログラム変換方法。

【請求項 5】

並列言語プログラムを解析し、複数のプロセッサで分散処理される逐次言語プログラムに変換するトランスレータ装置であって、

分散に関するパラメタである、分散種別を含む分散パラメタに値を設定するコードを生成する分散パラメタ設定手段と、

複数のプロセッサで共通して使用されるグローバルインデックスとローカルインデックスとを相互に変換する計算式を分散種別毎に記憶する記憶部から、前記分散パラメタ設定手段により生成されたコードにより値が設定される分散パラメタに対応した計算式を参照し、該参照した計算式および当該分散パラメタを用いて、ループで使用されるインデックスの範囲を示すループインデックスおよびループ内の配列で使用されるインデックスを示す配列インデックスについて、分散処理するプロセッサ内でローカル化処理を実行した結果として表されるコードを生成するインデックスローカル化手段と、

を備えたことを特徴とするトランスレータ装置。

【発明の詳細な説明】

【技術分野】

【0001】

この発明は、並列言語プログラムを解析し、複数のプロセッサで分散処理される逐次言語プログラムに変換するトランスレータプログラム、プログラム変換方法およびトランスレータ装置に関し、特に、ループインデックスの計算に起因するループの実行効率の低下を防ぐことができるトランスレータプログラム、プログラム変換方法およびトランスレータ装置に関するものである。

【背景技術】

【0002】

科学技術計算の並列化では、データを複数のプロセッサに分割して処理させるデータの分散処理と、ループを複数のプロセッサに分割して処理させるループの分散処理が基本となる。図 2 1 - 1 は、データの分散を示す図であり、図 2 1 - 2 は、ループの分散を示す図である。

【0003】

図 2 1 - 1 は、30 個のデータから構成される 1 次元配列 A を 8 個、8 個、8 個および 6 個のデータから構成される 4 つのグループに分割し、4 つのプロセッサで分散処理する場合を示している。図 2 1 - 2 は、ループ変数 I についての 30 回の繰り返し処理を、8 回、8 回、8 回および 6 回の繰り返し処理に 4 分割し、4 つのプロセッサで分散処理する場合を示している。

10

20

30

40

50

【 0 0 0 4 】

このように、科学技術計算では、データおよびループを分散処理することによって、処理の高速化が図られている。なお、データの分割およびループの分割は、インデックスの分割として統一的に扱うことができる。

【 0 0 0 5 】

HPF、OpenMP、VPPFortranなどの並列プログラミング言語では、インデックスの分割を指定することができる。具体的には、VPP Fortranはデータ分割とループ分割を表現する書式を持つ。HPFはデータ分割を表現する書式を持ち、ループ分割は間接的に表現できる。OpenMPはループ分割を表現する書式を持つが、共有メモリ型計算機を対象とするのでデータ分割の表現を持たない。

10

【 0 0 0 6 】

また、これらの並列プログラミング言語は、複数種類のインデックス分割を提供している。図 2 2 は、インデックス分割による分散の種類を示す図であり、30要素を4分割する場合を例として示している。同図に示すように、インデックス分割による分散には、ブロック分散、サイクリック分散、ブロック - サイクリック分散、不均等ブロック分散、不規則分散の5種類がある。

【 0 0 0 7 】

それぞれの詳細な意味については、非特許文献 1 または 2 に記載されているが、特徴は以下のとおりである。

【 0 0 0 8 】

ブロック分散は、分散次元についてもデータの連続性を残しているので近傍のデータ（配列要素）との相関が大きいアプリケーションに適している。また、計算負荷が計算領域に対して均でない場合や、並列計算機の能力が不揃いの場合（ヘテロ環境）には、ブロック分散の代わりに不均等ブロック分散を使用すれば負荷バランスが調節できる。

20

【 0 0 0 9 】

また、負荷バランスや計算範囲が実行ループごとに違う場合や実行時まで不明の場合には、サイクリック分散を使えば負荷分散をほぼ均等にできる。しかし、サイクリック分散は近傍のデータとの相関が強い場合に通信を多く発生するので、ブロック分散とサイクリック分散の中間的な方法としてブロック - サイクリック分散がある。

【 0 0 1 0 】

また、空間中を浮遊する粒子に関する計算など、データとプロセッサの対応づけが不規則でテーブルによって管理する必要がある場合には、不規則分散を使用することができる。

30

【 0 0 1 1 】

図 2 3 - 1 ~ 図 2 3 - 3 は、並列プログラミング言語による並列化の例を示す図である。図 2 3 - 1 は、逐次プログラムを示す図であり、図 2 3 - 2 は、OpenMPによる並列化を示す図であり、図 2 3 - 3 は、HPFによる並列化（入力例 1）を示す図である。

【 0 0 1 2 】

図 2 3 - 2 において、4行目のparallel do指示文は、ループdo lを並列に実行するよう指示している。OpenMPは、データの共有を前提とするので、データの分割配置に関する指示文を持たない。

40

【 0 0 1 3 】

図 2 3 - 3 において、2行目と3行目は、変数Aの1次元目方向を均等に4ブロックに分割して4プロセッサに配置することを指示している。6行目のindependent指示文は、ループdo lが並列実行可能であることを指示している。

【 0 0 1 4 】

それぞれ、ループの並列実行のためには、各プロセッサが実行するループインデックスの範囲を決定する必要がある。OpenMPではループの分割方法は言語仕様によって決められていて、インデックス範囲を機械的に分割する。HPFでは、ループ内でアクセスされる変数（この例ではA）の分割配置となるべく整合性が取れるように、コンパイラが自動的に

50

分割を決定する。

【 0 0 1 5 】

このように、並列化されたプログラムに対して、コンパイラは複数のプロセッサが実際に並列実行できるコードを生成する。このとき、コンパイラは、データもループもインデックス範囲を分割してプロセッサに割り振るが、データのインデックス付けを変換することで宣言形状をプロセッサ間で同じにし、SPMD(Single Program/Multiple Data)方式で静的なデータ割付を可能にする。

【 0 0 1 6 】

図 2 4 - 1 は、データおよびループのインデックス分割とプロセッサとの対応を示す図である。同図は、1000×1000の配列 $a(i, j)$ に対して、1行～250行までのデータが0番のプロセッサP(0)に割り当てられ、251行～500行までのデータが1番のプロセッサP(1)に割り当てられ、501行～750行までのデータが2番のプロセッサP(2)に割り当てられ、751行～1000行までのデータが3番のプロセッサP(3)に割り当てられることを示している。

10

【 0 0 1 7 】

図 2 4 - 2 は、図 2 3 - 3 に示した並列言語プログラムに対して従来のコンパイラが出力するコードを示す図である。同図において、myIDはプロセッサの番号であり、myIDを用いて各プロセッサの担当インデックス範囲の下限値myLBおよび上限値myUBが計算され、これら下限値および上限値が繰り返し範囲の指定およびデータのアクセスに使用される。

【 0 0 1 8 】

ここで、データ $a(i, j)$ をアクセスする場合に、変換前の入力プログラムのインデックスであるグローバルインデックス l から変換後のプログラムのインデックスであるローカルインデックス i への変換 $i = gtol(l) = l - myLB + 1 = l - 250 * myID$ が実行時に必要となる。

20

【 0 0 1 9 】

この変換 $gtol$ は、分散の種類やパラメタ(インデックスの長さ、分割数など)によって異なる関数となり、分散種別によっては複雑な計算式となるため、実行時ライブラリの呼出しによって実現されることも多い。なお、不規則分散の場合には一つの式では表現できず、テーブルの参照となる。

【 0 0 2 0 】

【非特許文献1】High Performance Fortran Forum, "High Performance Language Specification Version 2.0.", 1997

30

【非特許文献2】富士通, 日立, 日本電気, 「High Performance Fortran 2.0公式マニュアル」、シュプリンガー・フェアラーク東京、ISBN4-431-70822-7、1999年

【非特許文献3】Japan Association for High Performance Fortran (JAHPF), "HPF/JA Language Specification Version 1.0", November 1999、[平成16年6月18日検索]、インターネット<URL: HYPERLINK <http://www.hpfp.org/jahpf/spec/hpfja-v10-eng.pdf>>

【非特許文献4】OpenMP Architecture Review Board, "OpenMP Fortran Application Program Interface Version 2.0", November 2000、[平成16年6月18日検索]、インターネット<URL: HYPERLINK <http://www.openmp.org/specs/mp-documents/fspec20.pdf>>

40

【非特許文献5】OpenMP Architecture Review Board, "OpenMP C/C++ Application Program Interface Version 1.0", October 1998、[平成16年6月18日検索]、インターネット<HYPERLINK <http://www.openmp.org/specs/mp-documents/cspec10.pdf>>

【発明の開示】

【発明が解決しようとする課題】

【 0 0 2 1 】

図 2 4 - 2 に示したコードでは、グローバルインデックス l からローカルインデックス i への変換 $gtol$ は、比較的単純であった。しかし、このような場合でさえも、インデックス

50

変換のない場合の変数アクセスのコスト（load命令1回分程度）と比較して、インデックス変換のコスト（数演算の実行）はかなり大きいため、その部分の実行時間は数倍に増加する場合がある。

【0022】

より一般的な場合（ブロック分散以外の分散、ループの初期値・終値が配列の宣言形状と不一致、ループに1以外の増分値、インデックスの大きさがプロセッサ数で割り切れないなど）、ループを並列化した結果はより複雑になり、実行効率が低下するという問題がある。

【0023】

例えば、図25-1は、ブロック-サイクリック分散を用いる並列言語プログラムの例を示す図である。また、この例では、ループの上下限値が配列の上下限値と異なる。このとき、グローバルインデックスとローカルインデックスの対応は、図25-2に示すようになる。

10

【0024】

図25-2において、プロセッサP(0)では、グローバルインデックス「1~5」にローカルインデックス「1~5」が対応し、グローバルインデックス「21~25」にローカルインデックス「6~10」が対応し、グローバルインデックス「981~5」にローカルインデックス「246~250」が対応する。

【0025】

図25-3は、図25-1に示した並列言語プログラムに対して生成される従来のコードを示す図である。同図に示すように、インデックス変換式は、 $(I-1)/20*5+MOD(I-1,5)+1$ となる（除算は余りを切り捨てる整数除算）。また、並列ループについて、各プロセッサの担当範囲は5要素を1ブロックとする飛び飛びの範囲となるため、1重のDOループでは表現できず複雑な2重ループとなっている。このような出力コードの複雑化は、実行効率の低下を招きやすい。

20

【0026】

図26-1は、別の分散の例として、不規則分散を用いる並列言語プログラムの例を示す図である。この場合、グローバルインデックスとローカルインデックスの対応は図26-2に示すようになる。

【0027】

図26-3は、図26-1に示した並列言語プログラムに対して生成される従来のコードを示す図である。このコードでは、インデックス変換は式では表現できず、コンパイラが生成したテーブルGTOLの参照となっている。

30

【0028】

また、プロセッサ毎に実行するループインデックスの値は、FORTRANのDO文では表現することができないため、IF文によって実行が必要な反復を選び出している。つまり、全てのプロセッサで全てのループ範囲を実行するという無駄が生じる。この無駄はプロセッサ数が多くなるほど相対的に大きくなる。

【0029】

この発明は、上述した従来技術による問題点を解消するためになされたものであり、ループインデックスの計算に起因するループの実行効率の低下を防ぐことができるトランスレータプログラム、プログラム変換方法およびトランスレータ装置を提供することを目的とする。

40

【課題を解決するための手段】

【0030】

上述した課題を解決し、目的を達成するため、本発明は、並列言語プログラムを解析し、複数のプロセッサで分散処理される逐次言語プログラムに変換するトランスレータプログラムであって、分散に関するパラメタである分散パラメタに値を設定するコードを生成する分散パラメタ設定手順と、前記分散パラメタ設定手順により生成されたコードにより値が設定される分散パラメタを用いてループインデックスおよび配列インデックスをロー

50

カル化するコードを生成するインデックスローカル化手順と、をコンピュータに実行させることを特徴とする。

【0031】

また、本発明は、並列言語プログラムを解析し、複数のプロセッサで分散処理される逐次言語プログラムに変換するプログラム変換方法であって、分散に関するパラメタである分散パラメタに値を設定するコードを生成する分散パラメタ設定工程と、前記分散パラメタ設定工程により生成されたコードにより値が設定される分散パラメタを用いてループインデックスおよび配列インデックスをローカル化するコードを生成するインデックスローカル化工程と、を含んだことを特徴とする。

【0032】

また、本発明は、並列言語プログラムを解析し、複数のプロセッサで分散処理される逐次言語プログラムに変換するトランスレータ装置であって、分散に関するパラメタである分散パラメタに値を設定するコードを生成する分散パラメタ設定手段と、前記分散パラメタ設定手段により生成されたコードにより値が設定される分散パラメタを用いてループインデックスおよび配列インデックスをローカル化するコードを生成するインデックスローカル化手段と、を備えたことを特徴とする。

【0033】

かかる発明によれば、分散に関するパラメタである分散パラメタに値を設定するコードを生成し、生成したコードにより値が設定される分散パラメタを用いてループインデックスおよび配列インデックスをローカル化するコードを生成するよう構成したので、ループインデックス変換に起因するオーバヘッドを削減することができる。

【発明の効果】

【0034】

本発明によれば、ループインデックス変換に起因するオーバヘッドを削減するので、ループの実行効率の低下を防ぐことができるという効果を奏する。

【発明を実施するための最良の形態】

【0035】

以下に添付図面を参照して、この発明に係るトランスレータプログラム、プログラム変換方法およびトランスレータ装置の好適な実施例を詳細に説明する。なお、本実施例では、本発明をHPFを用いて作成された並列言語プログラムに適用した場合を中心に説明する。また、ここでは、数学記号を図27に示すように定義し、使用する用語の定義は以下のとおりである。

【0036】

SMP (Symmetric Multiprocessor)

複数CPUが同じメモリ空間を共有する並列実行。データの分散を考える必要がなく、すべてのデータはすべてのCPUから直接アクセス可能である。共有メモリ型計算機は通常SMP型の計算機であると言える。

【0037】

SPMD (Single Program/Multiple Data)

複数のプロセッサに同じプログラムを与えて、プロセッサIDなどのパラメタの違いによって処理を分担させ、全体として並列実行を行わせる方法。

【0038】

恒等的な整列

$m=1, n=0$ の整列。

【0039】

整列

Aの第d次元がBの第e次元に整列するとは、Aの第d次元のインデックスiからBの第e次元のインデックスjに一定の対応付けがあり、対応する配列要素どうしは同じプロセッサに対して分散されることを言う。HPFで定義される整列は、

$$j = m i + n \quad (m, n \text{ は整数, } m \neq 0)$$

10

20

30

40

50

という形であり、ALIGN指示文を使って以下のように表現する。

```
ALIGN A(i) WITH B(m*i+n)
```

HPFでは、ALIGN指示文によって、配列データから配列データまたはテンプレートへの整列が表現できる。また、ON指示文によって間接的に、ループから配列データまたはテンプレートへの整列が表現できる。VPP Fortranでは、配列データからテンプレート、ループからテンプレートへの整列が表現できる。OpenMPでは整列の表現はないが、並列ループからテンプレートへ常に恒等的な整列 ($m=1$, $n=0$ の整列) があると思えばよい。

【 0 0 4 0 】

テンプレート

配列要素やループの反復をプロセッサに分散するとき、仲介となる仮想的な配列。HPFの言語仕様 (非特許文献 1 および 2 参照。) で定義されていて、VPP Fortranのインデックス (非特許文献 5 参照。) の概念にも近い。テンプレートは、図 2 2 に例示したような分散方法でプロセッサと対応づけられる。変数やループはテンプレートに対して整列することができる。

10

【 0 0 4 1 】

プロセッサ

並列計算処理を実行する仮想的な単位。プロセッサは任意の次元数の矩形状に配置することができ、プロセッサの総数が並列度となる。分散メモリ型計算機では、各プロセッサは固有のメモリ空間を持つ。共有メモリ型計算機(SMP)では、メモリ空間はプロセッサ間で共有される。プロセッサと物理的なCPUの対応は、言語仕様で定義されることもあるし、コンパイラやオペレーティングシステムが決定することもある。複数のプロセッサの実行が物理的には1つのCPUで実現される場合もある。複数のプロセッサ配列が定義されるとき、その配列要素間の対応もまた、言語仕様で定義されることもあるし、コンパイラやオペレーティングシステムが決定することもある。

20

【 0 0 4 2 】

ローカルアクセス

プロセッサ間の通信を伴わないデータのアクセス。参照の場合にはアクセスするプロセッサがそのデータを所有していることが条件であり、定義の場合には、それに加えて、複製を持つすべてのプロセッサが同じ値を定義することが条件となる。分散されていない変数 (プロセッサに分割配置されず全要素のコピーが配置されている変数) は、分散されたDOループの中では、参照はローカルアクセスだが、定義はローカルアクセスでない。

30

【 0 0 4 3 】

また、分散種別と共に分散を特徴づけるパラメタには以下のものがある。

Nd : テンプレートの次元dの寸法。言い換えると、分割されるインデックスの長さ。例えば、HPFプログラムで、

```
!HPF$ PROCESSORS Q(4,6)
```

```
!HPF$ TEMPLATE U(100,0:29)
```

```
!HPF$ DISTRIBUTE U(block,cyclic) ONTO Q
```

とある場合、 $N1=100$ 、 $N2=30$ となる。dを省略し単にNと書くこともある。

【 0 0 4 4 】

Pd : テンプレートの次元dに対応するプロセッサ群の次元の寸法。言い換えると、インデックスの分割数。分散先プロセッサ群が一次元配列の場合には、P1はプロセッサ群を構成するプロセッサの数となる。例えば、上の例で、 $P1=4$ 、 $P2=6$ となる。ここではテンプレートのd次元目はプロセッサ群のd次元目に対応するよう正規化されていると仮定する。dを省略し単にPと書くこともある。

40

【 0 0 4 5 】

pd : テンプレートの次元dに対応するプロセッサ群の次元の中の自プロセッサの位置 ($0 < pd < Pd$)。例えば、上の例で、プロセッサQ(1,3)は $p1=1$ 、 $p2=3$ となる。pdの値は実行時にライブラリ呼出しなどによって得られる仮想プロセッサ番号から計算できる。dを省略し単にpと書くこともある。

50

【 0 0 4 6 】

w：ブロック分散またはブロック - サイクリック分散のときのブロック幅。ブロック分散でユーザ指定のない場合には、HPFとOpenMPでは

【数 1】

$$w = \lceil N/P \rceil \quad \dots(1)$$

と定義される。

【 0 0 4 7 】

W：不均等ブロック分散のときのブロック幅配列。長さPのベクトル。

W(p) (0 ≤ p < P)はプロセッサpに割り当てられるインデックスの幅となる。W(0) = W(1) = ... = W(P-1) = wであるとき幅wのブロック分散を意味する。 10

【 0 0 4 8 】

M：不規則分散のときの正規化されたマッピング配列。長さNdのベクトル。

M(k) (0 ≤ k < N)はテンプレートの各要素に対応するプロセッサの要素番号であり、0 ≤ M(k) < Pとなる。

【 0 0 4 9 】

また、以下は上記のパラメタから誘導されるパラメタである。

B：不均等ブロック分散のときのグローバルインデックスでの下限値の配列。長さPのベクトル。以下のように定義される。

【数 2】

$$B(p) = \sum_{k=0}^{p-1} W(k) \quad \dots(2)$$

以降、これらを合せて分散パラメタと呼ぶ。

【 0 0 5 0 】

なお、それぞれの手順の中に数式を作成する処理が数多くあるが、定数評価や数式処理的な技法を使って、出来る限り簡単化した式として生成するか、コード生成後に定数伝播・畳み込みなどの最適化技術によりできる限り簡単化することが望ましい。

【実施例】

【 0 0 5 1 】

まず、本実施例に係るプログラム変換による並列化の例について説明する。図 1 - 1 は、本実施例に係るプログラム変換による並列化の例 (1) を示す図である。この例は、図 2 3 - 3 に示した並列言語プログラム (入力例 1) を並列化したものである。 30

【 0 0 5 2 】

同図に示すように、本実施例に係るプログラム変換では、配列データだけでなくループについてもインデックスをローカル化することにより、分散配列のループ内のローカルアクセスでは添字式の変換を全く必要としないコードを生成する。具体的には、配列aにアクセスする場合に、ローカルインデクスiを用いてアクセスするコードを生成する。

【 0 0 5 3 】

図 1 - 2 は、本実施例に係るプログラム変換による並列化の例 (2) を示す図である。この例は、図 2 5 - 1 に示した並列言語プログラム (入力例 2) を並列化したものである。同図に示すように、ブロック - サイクリック分散を用い、ループの上下限值が配列の上下限值と異なる場合にも、図 2 5 - 3 に示した従来の並列化のように複雑なインデクス変換式や2重ループを用いることなく、添字式の変換を全く必要としないコードを生成する。 40

【 0 0 5 4 】

図 1 - 3 は、本実施例に係るプログラム変換による並列化の例 (3) を示す図である。この例は、図 2 6 - 1 に示した並列言語プログラム (入力例 3) を並列化したものである。同図に示すように、不規則分散を用いる場合にも、図 2 6 - 3 に示した従来の並列化のようにテーブルGTOLを参照することなく、添字式の変換を全く必要としないコードを生成 50

する。

【 0 0 5 5 】

このように、本実施例に係るプログラム変換では、配列データだけでなくループについてもインデックスをローカル化することにより、ループインデックスの計算に起因するループの実行効率の低下を防ぐことができる。

【 0 0 5 6 】

次に、本実施例に係るトランスレータプログラムの構成について説明する。図2は、本実施例に係るトランスレータプログラムの構成を示す機能構成図である。同図に示すように、このトランスレータプログラム100は、並列言語パーサ110と、最適化・正規化処理部120と、コード生成部130とを有する。

10

【 0 0 5 7 】

並列言語パーサ110は、HPFプログラムを入力して構文解析を行うパーサである。この並列言語パーサ110は、例えば、図23-3、図25-1、図26-1に示したHPFプログラムを入力する。

【 0 0 5 8 】

最適化・正規化処理部120は、並列言語パーサ110による構文解析結果に基づいてHPFプログラムの最適化および正規化を行う処理部である。

【 0 0 5 9 】

コード生成部130は、最適化・正規化処理部120により最適化および正規化が行われたHPFプログラムに対して、複数のプロセッサで分散処理されるFORTRANプログラムを生成する処理部である。

20

【 0 0 6 0 】

このコード生成部130は、ループインデックスをローカル化することによって、実行効率の良いFORTRANプログラムを生成し、生成されたFORTRANプログラムは、FORTRANコンパイラ10によってコンパイルされ、実行可能ファイルが生成される。なお、FORTRANコンパイラ10は、MPI(Message Passing Library)などの実行時ライブラリを結合して実行可能ファイルを生成する。

【 0 0 6 1 】

コード生成部130は、分散パラメタ設定部131と、ループインデックスローカル化部132と、配列形状ローカル化部133とを有する。

30

【 0 0 6 2 】

分散パラメタ設定部131は、テンプレートTの全ての分散次元dについて、分散パラメタpを実行時に計算して生成変数に設定する実行コードを生成する処理部である。生成する場所は各手続の入口である。あるいは、主プログラムの入口で外部変数に設定して全手続から見えるようにすることもできる。

【 0 0 6 3 】

なお、他の分散パラメタについては、同様に生成変数を設けて値を設定する実行コードを生成することもできる。ただし、コンパイル時に値が求められるパラメタは、実行コードを生成しない。

【 0 0 6 4 】

また、この分散パラメタ設定部131は、不規則分散の場合に、グローバルインデックスからローカルインデックスを得るためのテーブルとして形状(0:N)の1次元配列を宣言し、図3に示す漸化式で定義される値を設定するコードを生成する。ここで、配列名はテンプレートの次元毎に一意の名前とする(ここではgtolとする)。なお、このテーブルの値はプロセッサによって異なる。

40

【 0 0 6 5 】

また、この分散パラメタ設定部131は、不規則分散の場合に、ローカルインデックスからグローバルインデックスを得るためのテーブルとして形状(0:n-1)の領域を確保し、M(k)の値が自プロセッサ番号pと一致するkの値を昇順に並べたものを設定するコードを生成する。ここで、テーブルのサイズnは、n=Nとしてもよいが、少なくともこの設定で溢れ

50

ないだけの大きさがあれば十分である。また、配列名はテンプレートの次元毎に一意の名前とする（ここではltogとする）。

【 0 0 6 6 】

ループインデックスローカル化部 1 3 2 は、ループインデックスをローカル化する処理部であり、ループパラメタローカル化部 1 3 2 a と、ループ変数変換部 1 3 2 b とを有する。

【 0 0 6 7 】

ループパラメタローカル化部 1 3 2 a は、テンプレートTの分散次元dに整列するループLについて、グローバルインデックスをローカルインデックスに変換するためのコードをループの前に生成する処理部である。

10

【 0 0 6 8 】

図 4 - 1 は、ループパラメタローカル化部 1 3 2 a が生成するコードを示す図である。同図に示すように、ループパラメタローカル化部 1 3 2 a は、グローバルインデックスの三つ組 $i1:i2:i3$ からローカルインデックスの三つ組 $i1:i2:i3$ を求めるコードをループの前に生成する。なお、グローバルインデックスの三つ組 $i1:i2:i3$ からローカルインデックスの三つ組 $i1:i2:i3$ を得る計算式は数学的に求めることができ、その解の一例については後述する。また、 $i1$ 、 $i2$ 、または $i3$ が 1 つの式の評価だけで計算できる場合、その式で直接ループパラメタを置き換えてもよい。

【 0 0 6 9 】

図 4 - 2 は、ループパラメタに増分が存在しない場合に、ループパラメタローカル化部 1 3 2 a が生成するコードを示す図である。同図に示すように、ループパラメタローカル化部 1 3 2 a は、グローバルインデックスの二つ組 $i1:i2$ からローカルインデックスの二つ組 $i1:i2$ を求めるコードをループの前に生成する。なお、グローバルインデックスの二つ組 $i1:i2$ からローカルインデックスの二つ組 $i1:i2$ を得る計算式は数学的に求めることができ、その解の一例についても後述する。また、 $i1$ または $i2$ が 1 つの式の評価だけで計算できる場合、その式で直接ループパラメタを置き換えてもよい。

20

【 0 0 7 0 】

図 4 - 3 は、不規則分散の場合に、ループパラメタローカル化部 1 3 2 a が生成するコードを示す図である。同図に示すように、ループパラメタローカル化部 1 3 2 a は、分散パラメタ設定部 1 3 1 が生成したグローバルインデックスからローカルインデックスを求めるテーブルgtolを用いて、ループ初期値および終値を置き換える。

30

【 0 0 7 1 】

なお、ループパラメタに増分が存在する場合、ループパラメタのローカル化の直前に、図 5 に示すようにループを変換することにより、増分を消し去ることができる。

【 0 0 7 2 】

ループ変数変換部 1 3 2 b は、ループLの中でループ変数の引用を検出し、それぞれグローバルインデックスに変換する式に置き換える処理部である。ただし、そのループ変数がローカルアクセスの添字式として引用されていて、かつ、その次元で配列がテンプレートTの次元dに整列している場合には、この変換は行わない。なお、ローカルインデックスをグローバルインデックスに変換する関数は数学的に求めることができ、その解の一例についても後述する。

40

【 0 0 7 3 】

配列形状ローカル化部 1 3 3 は、テンプレートTに整列する分散配列Aについて、配列インデックスのローカル化を行う処理部である。すなわち、この配列形状ローカル化部 1 3 3 は、テンプレートTのすべての分散している次元dに対して、配列Aの次元dに整列している次元について、下限を0に置き換え、上限をlsize_supより1小さい値を表現するコードに置き換える。

【 0 0 7 4 】

lsize_supは、 $\max [lsize_q \mid 0 \leq q < P]$ 以上の任意の値であり、メモリ領域の無駄を小さくするためにはできるだけ小さな値であることが望ましい。ここで、 $lsize_q$ は、プロ

50

セッサ q に分割割当てされるその次元のインデックスの数である。 $lsize_sup$ は数学的に求めることができ、その解の一例については後述する。

【0075】

なお、不規則分散の場合には、 $lsize_q$ は、 $M(k) = q$ となる要素数だが、記憶領域の無駄を厭わないのであれば、 $lsize_sup=N$ としてもよい。

【0076】

なお、ここでは、不規則分散の場合に、分散パラメタ設定部131が、グローバルインデックスからローカルインデックスを得るためのテーブルおよびローカルインデックスからグローバルインデックスを得るためのテーブルを生成するが、ループパラメタローカル化部132aが各ループに対して行うこともできる。その場合、コードの生成場所は手続の入口ではなく各ループの直前とする。

【0077】

次に、コード生成部130の処理手順について説明する。図6は、コード生成部130の処理手順を示す流れ図である。同図に示すように、このコード生成部130は、全てのテンプレート T について、分散パラメタの設定を行い(ステップS100)、ループインデックスのローカル化を行い(ステップS200)、配列インデックスのローカル化を行う(ステップS300)。

【0078】

また、ステップS200のループインデックスのローカル化では、 T の全ての分散している次元 d について、 d に整列する全てのループ L について、ループパラメタのローカル化を行い(ステップS210)、ループ変数引用の変換を行う(ステップS220)。

【0079】

また、ステップS300の配列インデックスのローカル化では、 T に整列する全ての配列 A について、 T の全ての分散している次元 d について、配列形状のローカル化を行う(ステップS310)。

【0080】

このように、このコード生成部130が、全てのテンプレート T について、分散パラメタの設定、ループインデックスのローカル化、配列インデックスのローカル化を行うことによって、実行効率の良いコードを生成することができる。

【0081】

次に、グローバルインデックスとローカルインデックスの相互変換関数について説明する。図7は、分散 D の属性を示す図である。同図に示すように、分散 D は、分散種別 d 、プロセス数 P 、配列の寸法 N 、ブロック幅 w 、ブロック幅配列 W 、分散下限値 B およびマッピング配列 M を有する。

【0082】

ブロック分散の場合、以下のすべての関数で、自プロセッサ番号が p のときの部分式 p_w を $myLB$ に置き換えてもよい。不均等ブロック分散の場合、以下のすべての関数で、自プロセッサ番号が p のときの部分式 $B(p)$ を $myLB$ に置き換えてもよい。ただし、 $myLB$ はそれぞれ p_w および $B(p)$ を自プロセッサ番号 p について事前に評価した値を持つ変数とする。

【0083】

$gtol$ は、分散 D について、グローバルインデックス l に対応するプロセッサ p のローカルインデックス i を得る関数であり、図8に各分散種別 d に対応する $gtol$ の定義を示す。

【0084】

$ltog$ は、分散 D について、プロセッサ p のローカルインデックス i に対応するグローバルインデックス l を得る関数であり、図9に各分散種別 d に対応する $ltog$ の定義を示す。

【0085】

$gtol2$ は、 $(i1, i2) = gtol2(D, l1, l2, p)$ の形式で用いられ、分散 D について、グローバルインデックス区間 $l1:l2$ に対応する、プロセッサ p におけるローカルインデックス区間 $i1:i2$ の $i1$ と $i2$ を得る関数であり、図10-1~図10-2に各分散種別 d に対応する $gtol2$ の定義を示す。

10

20

30

40

50

【 0 0 8 6 】

なお、図 1 0 - 1 に示したブロック分散の他の実現方法のうち最初の方法は、元の方法に比べて場合分けが多いので生成コードが大きくなり実行時の判断分岐が多くなるが、並列化した後のループの上下限界が -1 以上 w 以下であることが保証されるので、例えば 4 バイト整数では表現できないような巨大ループを分割して 4 バイト整数で扱えるようにするなど、スケラビリティを重視する場合に適する。

【 0 0 8 7 】

gtol3 は、 $(i_1, i_2, i_3) = \text{gtol3}(D, l_1, l_2, l_3, p)$ の形式で用いられ、分散 D について、グローバルインデックス三つ組 $l_1:l_2:l_3$ に対応する、プロセッサ p におけるローカルインデックス三つ組 $i_1:i_2:i_3$ の i_1 と i_2 と i_3 を得る関数であり、図 1 1 - 1 ~ 図 1 1 - 3 に各分散種別 d に対応する gtol3 の定義を示す。

10

【 0 0 8 8 】

なお、サイクリック分散では一般に i_1, i_2 の値を場合分け (IF 文) と式による評価 (代入文) だけで生成することはできないので、動的に計算するための実行時ライブラリを用意してオブジェクトと結合するか、または、インライン展開してソースに挿入するか、または、FORTRAN などの言語で実行手続をコンパイル時に生成して、オブジェクトと結合する (特願 2 0 0 0 - 5 9 6 4 5 1 参照。)。

【 0 0 8 9 】

Lsize_sup は、 $n_sup = \text{lsize_sup}(D)$ の形式で用いられ、分散 D の分散後の大きさのうち、プロセッサ間で最大のものと等しいか、それよりも大きな値で、できるだけ小さな値を得る関数であり、図 1 2 に各分散種別 d に対応する Lsize_sup の定義を示す。

20

【 0 0 9 0 】

次に、図 2 3 - 3 に示した入力例 1 に対するコード生成部 1 3 0 の処理について説明する。図 1 3 - 1 は、図 2 3 - 3 に示した入力例 1 に対してコード生成部 1 3 0 が入力する内部表現のイメージを示す図である。

【 0 0 9 1 】

図 1 3 - 1 に示すように、トランスレータプログラム 1 0 0 は、内部表現に落す際に、ループの分散は配列 A の 1 次元目に沿って行うという判断を加え、配列の下限値と DO ループの初期値は 0 に正規化している。なお、この正規化は必須の処理ではなく、代わりにグローバルインデックス / ローカルインデックスの相互変換式に下限値の考慮を加えて修正してもよい。または、特願 2 0 0 3 - 3 1 6 1 3 7 に記載した発明を使うなどして正規化すればよい。

30

【 0 0 9 2 】

また、前処理により、 A のアクセスは 3 箇所ともローカル、つまりプロセッサ間通信なしでアクセスできることが保証されているとする。なお、ローカルアクセスの検出は特願 2 0 0 3 - 3 1 6 1 3 7 に記載した発明などで可能であり、ローカルでないアクセスを並列ループ外へ出す方法は、特許第 3 2 6 1 2 3 9 号に記載された技術やその他の既存技術が使用できる。また、ここでは、HPF プログラムを入力例としたが、自動並列化コンパイラの解析結果やツールによる生成コードをコード生成部 1 3 0 の入力としてもよい。

【 0 0 9 3 】

[ステップ S 1 0 0]

プロセッサ番号 p を変数 $myID$ に格納するため、手続の入口に以下のコードを挿入する。この値には MPI ライブラリが返す仮想プロセッサ番号をそのまま使用している。

```
CALL mpi_comm_rank(MPI_COMM_WORLD, myID, ...)
```

ブロック分散の他のパラメタはそれぞれ、

【 数 3 】

$$N = 1000, P = 4, w = \lceil N/P \rceil = 250 \quad \dots(3)$$

と定数となるので、実行コードとしては生成しない。

【 0 0 9 4 】

50

〔ステップS200〕

テンプレートに整理するループはdo 1だけである。

〔ステップS210〕ループインデックスは $i1 = 0$, $i2 = 999$ であるので、変換後の初期値 $i1$ と終値 $i2$ はブロック分散の $gtol2$ 関数よりそれぞれ以下のように計算できる。これに対応するコードをループの直前に生成する。

```
i1 = -250*myID      for myID  0
    = 0              for myID > 0
i2 = 249           for myID < 3
    = 999-250*myID for myID  3
```

〔ステップS220〕ループ内でループ変数 l は3個所で引用されているが、いずれも変換を行わない条件に該当する。

【0095】

〔ステップS300〕

対象変数はAだけで、分散次元は1次元目である。 $w = 250$ であるので、Aの1次元目の形状は0:249とする。

【0096】

以上の変換を施した結果を、図13-2に示す。同図で太字で示した範囲が新しく生成または置換された部分である(以下同様)。さらに定数伝播・定数畳み込みなどの既存の最適化を施すことにより、図13-3のようなコードに簡単化できる。これは図1-1で示した結果と一致する。図24-2に示した従来のコンパイラが出力するコードと比較して、配列アクセスの添字式が簡単になることが分かる。

【0097】

次に、図25-1に示した入力例2に対するコード生成部130の処理について説明する。図14-1は、図25-1に示した入力例2に対応してコード生成部130が入力する内部表現のイメージを示す図である。

【0098】

〔ステップS100〕

入力例1と同様、 $myID$ に p を設定するコードを生成する。 $N = 1000$, $P = 4$, $w = 5$ である。

【0099】

〔ステップS200〕

〔ステップS210〕 $i1 = 1$, $i2 = 998$ であるので、変換後の初期値 $i1$ と終値 $i2$ はブロック・サイクリック分散の $gtol2$ 関数よりそれぞれ図14-2に示すように計算できる。これに対応するコードをループの直前に生成する。 p の取り得る範囲が0以上 P 未満であることから、 $i1$ の計算における $p < 0$ のケースと、 $i2$ の計算における $p > 3$ のケースは省略することができる。

〔ステップS220〕変換を行わない。

【0100】

〔ステップS300〕

【数4】

$$w = \lceil N / (Pw) \rceil = 250 \quad \dots(4)$$

であるので、Aの1次元目の形状は0:249とする。

【0101】

以上の変換を施した結果を、図14-3に示す。さらに外側ループ内のIFブロックをループの外に移動する最適化を施せば、図1-2で示した結果と一致する。図25-3に示した従来のコードではDOループネストが深くなることでループ実行のコストが増加するのに対し、この例ではDOループの深さを変化させない。また、添字式も複雑にならない。

【0102】

次に、図26-1に示した入力例3に対するコード生成部130の処理について説明す

10

20

30

40

50

る。図 15 - 1 は、図 26 - 1 に示した入力例 3 に対応してコード生成部 130 が入力する内部表現のイメージを示す図である。

【 0 1 0 3 】

〔ステップ S 1 0 0 〕

入力例 1 と同様に myID にプロセッサ番号 p を設定する実行コードを生成する。また、以下のコードにより、実行時に mapArray(0:11) にマッピング配列 M を設定させる。

```
mapArray = MAP-1
```

または

```
do l=0,11
```

```
  mapArray(l) = MAP(l-1)-1
```

10

```
end do
```

【 0 1 0 4 】

ここで MAP-1 とするのは、プロセッサ配列の下限値を 0 に正規化するためのシフトである。また、変換テーブル gtol(0:12) と ltog(0:11) を宣言し、値を設定するための実行コードを以下のように生成する。

```
gtol(0) = 0
```

```
i = 0
```

```
do k=0,11
```

```
  if (myID.EQ.mapArray(k)) then
```

```
    ltog(i) = k
```

20

```
    i = i+1
```

```
  end if
```

```
  gtol(k+1) = i
```

```
end do
```

【 0 1 0 5 】

〔ステップ S 2 0 0 〕

DO 文の初期値 M を gtol(M) に、終値 N を gtol(N+1)-1 に、それぞれ置換する。ループ内で変数 l は 4 個所で引用されていて、うち一個所だけは変換を行わない条件に該当しないので変換する。すなわち、3 番目に出現する l だけを ltog(l) に置換する。

【 0 1 0 6 】

30

〔ステップ S 3 0 0 〕

N=12 であるので、A の 1 次元目の形状は 0:11 とする。

【 0 1 0 7 】

以上の変換を施した結果を、図 15 - 2 に示す。これは図 1 - 3 で示した結果と一致する。図 26 - 3 で示した従来のコードでは全プロセッサが内側ループの全範囲を実行することになり並列効果が得られにくいのにに対し、この例では各プロセッサが担当範囲だけの実行に縮小されている。

【 0 1 0 8 】

次に、サイクリック分散に対するコード生成部 130 の処理について説明する。図 16 - 1 は、コード生成部 130 が入力する内部表現のイメージを示す図である。

40

【 0 1 0 9 】

〔ステップ S 1 0 0 〕

入力例 1 と同様、myID に p を設定するコードを生成する。N = 24, P = 6 である。

【 0 1 1 0 】

〔ステップ S 2 0 0 〕

〔ステップ S 2 1 0 〕 I1 = 4, I2 = 20, I3 = 4 であるので、変換後の初期値 i1、終値 i2、および増分 i3 はサイクリック分散の gtol3 関数より以下のように計算する。

(1) t = GCD(P, |I3|) = GCD(6, 4) = 2 をコンパイル時の計算で得る。

(2) 図 17 を実現するソースコードをコンパイル時に FORTRAN 外部関数として生成する。ここでは、関数名を cyclic_f とし、解なしの場合に -1 を返すインターフェースとしている

50

- 。
- (3) `cyclic_f`を呼び出して戻り値を変数`n_cyc`に代入するコードをD0ループの前に生成する。
- (4) `n_cyc`の値が-1でない場合に限ってD0ループが実行されるように、D0ループ全体をIFブロックで囲む。
- (5) D0ループパラメタをそれぞれ変数`k1, k2, k3`に置換し、`k1, k2, k3`の値を求めるコードをD0ループの直前に生成する。

[ステップS220] ループ内で変数`k`は2個所で引用されていて、うち右辺式の出現は変換を行わない条件に該当しないので変換する。すなわち、式 $i*j*k$ の`k`を`l`と`log`関数に従い $(6*k+myID)$ に置き換える。

【0111】

[ステップS300]

対象変数`X`の形状について、下限を0、上限を

【数5】

$$lsize_max-1 = \lceil N/P \rceil - 1 = 3 \quad \dots(5)$$

に置き換える。

【0112】

以上の変換を施した結果を、図16-2に示す。出力コードは関数`cyclic_f`のソースコードを含む。別の実現方法として、関数`cyclic_f`は作り付けのライブラリとして事前に用意してシステムの一部とし、必要に応じて出力コードと結合するように構成してもよい。あるいは、インライン展開によって出力コード中に展開してもよい。また、この例では最大公約数を求める計算をコンパイル時に行うとしたが、関数`cyclic_f`と同様にソースプログラムとして生成してもよいし、インライン展開してもよいし、ライブラリとして出力コードと結合してもよい。

【0113】

次に、多次元に渡る分散に対するコード生成部130の処理について説明する。図18-1は、コード生成部130が入力する内部表現のイメージを示す図である。ここでは、配列の下限値は0、配列からテンプレートへは恒等的な整列に正規化された状態から考える。また、前処理によりデータのアクセスはすべてローカルアクセスと保証されているとする。これらの正規化や前処理は、必要に応じて事前に行うことができる。

【0114】

入力プログラムは、図18-2に示すようなデータ分散を表現している。すなわち、配列AとCはプロセッサ群Pに対してブロック分散されている。配列Bはその2次元目がPに対してブロック分散されている。配列Dは2次元構成のプロセッサ群P2に対して2次元ブロック分散されている。配列Rは分散されず、すべてのプロセッサにその複製が配置されている。プロセッサ群PとP2との対応はここでは同図に示すようにする。

【0115】

まず、テンプレートT1に対して以下の処理を行う。

[ステップS100]

テンプレートT1に対するプロセッサ番号`p`を変数`myID1`に格納するため、手順の入口に以下のコードを挿入する。この値にはMPIライブラリが返す仮想プロセッサ番号をそのまま使用している。

```
CALL mpi_comm_rank(MPI_COMM_WORLD, RANK, ...)
```

```
myID1=RANK
```

【0116】

なお、T1に対する他の分散パラメタはすべて定数であり、 $N=30$ 、 $P=4$ 、 $w=8$ である。また、自プロセッサの分割下限値を示す式 $p \ w$ すなわち $8*myID1$ の評価回数を削減するため、以下のコードを生成する。

```
myLB1=8*myID1
```

10

20

30

40

50

【 0 1 1 7 】

[ステップ S 2 0 0]

T1に整列するループはL1のみである。

[ステップ S 2 1 0] $I1 = 1, I2 = 28$ であるので、変換後の初期値 $i1$ と終値 $i2$ はブロック分散の $gtol2$ 関数よりそれぞれ図 1 8 - 3 に示すように計算できる。この値を実行時に変数 $ib1, ie1$ を介してループの初期値と終値に設定できるように、ループL1の直前に実行されるコードを生成する。

[ステップ S 2 2 0] ループL1内のループ変数 i の引用は図 1 8 - 1 に示したプログラムの 1 4 行に 4 箇所と 1 6 行に 2 箇所ある。このうち、1 4 行の変数 B の第 1 添字式に出現する i と、1 6 行の右辺に出現する i は、対象から除外する条件に該当しないので、ブロック分散の $ltog$ 関数に沿って $(i+myLB1)$ に置換する。

10

【 0 1 1 8 】

[ステップ S 3 0 0]

T1に整列する変数は A, B, C である。そこで、 A の宣言形状に対して、T1に整列している次元の宣言の下限を 0、上限を $w-1$ すなわち定数 7 に変換する。 B の 2 次元目の宣言形状と、 C の宣言形状に対しても、同様に変換する。

【 0 1 1 9 】

図 1 8 - 4 に、ここまでの変換後のイメージを示す。テンプレート T1 および変数 A, B, C の整列に関する情報はここで不要になる。

【 0 1 2 0 】

また、テンプレート T2 に対して以下の処理を行う。

[ステップ S 1 0 0]

ユーザが定義する多次元プロセッサ群とプロセッサとの対応付けは、入力プログラムの言語仕様や、処理系の実装方法や、実行時ライブラリの変換仕様による。ここでは図 1 8 - 5 に示すような対応付けを行うとする。この場合、 $p1, p2$ は以下の式で得られる。

【 数 6 】

$$\begin{aligned} p1 &= \text{mod}(\text{rank}, 2) \\ p2 &= \lfloor \text{rank} / 2 \rfloor \end{aligned} \quad \dots(6)$$

20

【 0 1 2 1 】

そして、次元 $d=1$ について、プロセッサ番号 $p1$ を変数 $myID2$ に設定するコードを以下のよう生成する。

$$myID2 = \text{MOD}(\text{RANK}, 2)$$

なお、他の分散パラメタは、 $N1=30, P1=2, w=5$ となる。 $p1 * w = 5 * myID2$ を変数 $myLB2$ に設定する。

【 0 1 2 2 】

また、次元 $d=2$ について、プロセッサ番号 $p2$ を変数 $myID3$ に設定するコードを以下のよう生成する。

$$myID3 = \text{RANK} / 2$$

なお、他の分散パラメタは、 $N2=30, P2=2, w=5$ となる。 $p2 * w = 5 * myID3$ を変数 $myLB3$ に設定する。

30

40

【 0 1 2 3 】

[ステップ S 2 0 0]

まず、T2の1次元目に対して以下の処理を行う。T2の第1次元に整列するループはL2のみである。

[ステップ S 2 1 0] $I1 = 0, I2 = j$ であるので、 $gtol2$ 関数を用いてL2の下限 $ib2$ および上限 $ie2$ は図 1 8 - 6 に示すように計算できる。 $myID2$ は 0 以上なので、 $ib2$ の値は常に定数 0 となる。ここでは最適化によりそのような簡単化ができたとする。

【 0 1 2 4 】

[ステップ S 2 2 0] ループL2内のループ変数 i の引用は図 1 8 - 1 に示したプログラ

50

ムの 2 6 行に 2 箇所ある。このうち、非分散配列 R の添字に出現する i は、対象から除外する条件に該当しないので、ltog 関数を用いて i+myLB2 に置換する。

【 0 1 2 5 】

また、T2 の 2 次元目に対して以下の処理を行う。T2 の第 2 次元に整列するループは L3 のみである。

[ステップ S 2 1 0] I1 = 1, I2 = 9, I3 = 2 であるので、gtol3 関数でブロック分散で I3 > 0 のケースを用いて L3 の下限 ib3、上限 ie3、および増分 is3 は図 1 8 - 7 に示すように計算できる。この値を実行時に変数 ib3, ie3 を介してループの初期値と終値に設定できるように、ループ L3 の直前に実行されるコードを生成する。is3 は定数なので直接 D0 文の増分に設定する。

【 0 1 2 6 】

[ステップ S 2 2 0] ループ L3 内のループ変数 j の引用は図 1 8 - 1 に示したプログラム 2 6 行に 2 箇所ある。このうち、非分散配列 R の添字に出現する j は、対象から除外する条件に該当しないので、ltog 関数を用いて i+myLB3 に置換する。

【 0 1 2 7 】

[ステップ S 3 0 0]

T2 に整列している変数は D だけである。まず、D の 1 次元目の下限を 0、上限を w-1 すなわち定数 4 に変換する。また、D の 2 次元目の下限を 0、上限を w-1 すなわち定数 4 に変換する。

【 0 1 2 8 】

以上の手順により、最終的に出力されるコードを図 1 8 - 8 に示す。

【 0 1 2 9 】

次に、本実施例に係るトランスレータプログラムを実行するコンピュータシステムについて説明する。図 1 9 は、本実施例に係るトランスレータプログラムを実行するコンピュータシステムを示す図である。

【 0 1 3 0 】

同図に示すように、このコンピュータシステム 2 0 0 は、本体部 2 0 1 と、本体部 2 0 1 からの指示により表示画面 2 0 2 a に情報を表示するディスプレイ 2 0 2 と、このコンピュータシステム 2 0 0 に種々の情報を入力するためのキーボード 2 0 3 と、ディスプレイ 2 0 2 の表示画面 2 0 2 a 上の任意の位置を指定するマウス 2 0 4 と、LAN 2 0 6 または広域エリアネットワーク (WAN) に接続する LAN インタフェースと、公衆回線 2 0 7 に接続するモデムとを有する。ここで、LAN 2 0 6 は、他のコンピュータシステム (PC) 2 1 1、サーバ 2 1 2、プリンタ 2 1 3 などとコンピュータシステム 2 0 0 とを接続している。

【 0 1 3 1 】

また、図 2 0 は、図 1 9 に示した本体部 2 0 1 の構成を示す機能ブロック図である。同図に示すように、この本体部 2 0 1 は、CPU 2 2 1 と、RAM 2 2 2 と、ROM 2 2 3 と、ハードディスクドライブ (HDD) 2 2 4 と、CD-ROM ドライブ 2 2 5 と、FD ドライブ 2 2 6 と、I/O インタフェース 2 2 7 と、LAN インタフェース 2 2 8 と、モデム 2 2 9 とを有する。

【 0 1 3 2 】

そして、このコンピュータシステム 2 0 0 において実行されるトランスレータプログラムは、フロッピディスク (FD) 2 0 8、CD-ROM 2 0 9、DVD ディスク、光磁気ディスク、IC カードなどの可搬型記憶媒体に記憶され、これらの記憶媒体から読み出されてコンピュータシステム 2 0 0 にインストールされる。

【 0 1 3 3 】

あるいは、このトランスレータプログラムは、LAN インタフェース 2 2 8 を介して接続されたサーバ 2 1 2 のデータベース、他のコンピュータシステム (PC) 2 1 1 のデータベースなどに記憶され、これらのデータベースから読み出されてコンピュータシステム 2 0 0 にインストールされる。

【 0 1 3 4 】

10

20

30

40

50

そして、インストールされたトランスレータプログラムは、HDD 2 2 4 に記憶され、RAM 2 2 2、ROM 2 2 3 などを利用してCPU 2 2 1 により実行される。

【0135】

上述してきたように、本実施例では、分散パラメタ設定部 1 3 1 が分散に関するプロセッサ毎のパラメタを設定するコードを生成し、ループインデックスローカル化部 1 3 2 がループのインデックスのローカル化を行い、配列形状ローカル化部 1 3 3 が分散配列のローカル化を行うこととしたので、添字式でインデックス変換を避けることができ、インデックス変換に起因するオーバーヘッドを削減することができる。

【0136】

また、本実施例に係るトランスレータプログラム 1 0 0 によって生成されるプログラムは、ループ上下限の式が簡単になり、プロセッサ番号に依存しない式や、定数にできることも多い。それにより、上下限值がコンパイル時に確定するため、一般的な最適化が促進される。また、並列ループの外側に逐次ループがある場合でも、ループ交換、ループ合体 (loop coalescing) などの最適化が行いやすい。さらに、ループのコストがコンパイル時に見積もりやすい。

10

【0137】

また、本実施例に係るトランスレータプログラム 1 0 0 によって生成されるプログラムは、並列ループ入口でのコストが非常に小さい。したがって、内側のループで並列化しても性能低下が小さいので、アプリケーションプログラムの自由度が大きくなる。従来は、並列ループは入口でコストが高いので、ループの並列化は最外ループで行うのがよいとされてきた。

20

【0138】

また、本実施例に係るトランスレータプログラム 1 0 0 によって生成されるプログラムは、ループ/配列のインデックスのローカル化により、扱うインデックスの絶対値を小さく抑えられる。したがって、32ビット整数ではインデックスが表現できないような巨大配列や巨大ループでも、並列化によって32ビットでも扱えるようになる。

【0139】

また、本実施例に係るトランスレータプログラム 1 0 0 によって生成されるプログラムでは、配列割付けは連続領域に圧縮できる。したがって、メモリ領域を節約することができる。また、アクセス範囲が局所化されるため、キャッシュ効率が向上する。

30

【0140】

また、本実施例に係るトランスレータプログラム 1 0 0 によって生成されるプログラムでは、ループはマスクなし一重にできる。すなわち、ブロック-サイクリック分散では従来2重化していたが、ループに増分がなければ効率よく一重化できる。また、増分ありでもマスク付きで一重化できる。不規則分散は、従来マスク付きアクセスでしか実装できなかったが、ループに増分がなければ効率よく一重化できる。

【0141】

また、本実施例に係るトランスレータプログラム 1 0 0 によって生成されるプログラムでは、分散配列の手続間受渡しが自然であり、実引数と仮引数の次元数/形状不整合にも自然な対応が可能である。

40

【0142】

また、本実施例では、FORTRANを基本とする並列プログラミング言語の場合について説明したが、本発明はこれに限定されるものではなく、例えばCなどの他のプログラミング言語を基本とする並列プログラミング言語の場合にも同様に適用することができる。

【0143】

(付記1) 並列言語プログラムを解析し、複数のプロセッサで分散処理される逐次言語プログラムに変換するトランスレータプログラムであって、

分散に関するパラメタである分散パラメタに値を設定するコードを生成する分散パラメタ設定手順と、

前記分散パラメタ設定手順により生成されたコードにより値が設定される分散パラメタ

50

を用いてループインデックスおよび配列インデックスをローカル化するコードを生成するインデックスローカル化手順と、

をコンピュータに実行させることを特徴とするトランスレータプログラム。

【0144】

(付記2)前記インデックスローカル化手順は、ループパラメタをローカル化するループパラメタローカル化手順と、ループ変数をグローバルインデックスに変換するループ変数変換手順をコンピュータに実行させることによってループインデックスをローカル化するコードを生成することを特徴とする付記1に記載のトランスレータプログラム。

【0145】

(付記3)前記並列言語プログラムには、分散種別として不均等ブロック分散および不規則分散を指定可能であることを特徴とする付記1または2に記載のトランスレータプログラム。

10

【0146】

(付記4)前記並列言語プログラムには、分散種別としてブロック分散、サイクリック分散およびブロック・サイクリック不均をさらに指定可能であることを特徴とする付記3に記載のトランスレータプログラム。

【0147】

(付記5)前記並列言語プログラムは、FORTRANを基本とする並列プログラミング言語を用いて作成されたプログラムであることを特徴とする付記1または2に記載のトランスレータプログラム。

20

【0148】

(付記6)前記分散パラメタ設定手順は、各手続きの入り口に分散パラメタに値を設定するコードを生成することを特徴とする付記1または2に記載のトランスレータプログラム。

【0149】

(付記7)前記ループパラメタローカル化手順は、ループの初期値および終値をローカルインデックスに変換することを特徴とする付記2に記載のトランスレータプログラム。

【0150】

(付記8)並列言語プログラムを解析し、複数のプロセッサで分散処理される逐次言語プログラムに変換するトランスレータプログラムを記録したコンピュータ読み取り可能な記録媒体であって、

30

分散に関するパラメタである分散パラメタに値を設定するコードを生成する分散パラメタ設定手順と、

前記分散パラメタ設定手順により生成されたコードにより値が設定される分散パラメタを用いてループインデックスおよび配列インデックスをローカル化するコードを生成するインデックスローカル化手順と、

をコンピュータに実行させるトランスレータプログラムを記録したことを特徴とするコンピュータ読み取り可能な記録媒体。

【0151】

(付記9)並列言語プログラムを解析し、複数のプロセッサで分散処理される逐次言語プログラムに変換するプログラム変換方法であって、

40

分散に関するパラメタである分散パラメタに値を設定するコードを生成する分散パラメタ設定工程と、

前記分散パラメタ設定工程により生成されたコードにより値が設定される分散パラメタを用いてループインデックスおよび配列インデックスをローカル化するコードを生成するインデックスローカル化工程と、

を含んだことを特徴とするプログラム変換方法。

【0152】

(付記10)並列言語プログラムを解析し、複数のプロセッサで分散処理される逐次言語プログラムに変換するトランスレータ装置であって、

50

分散に関するパラメタである分散パラメタに値を設定するコードを生成する分散パラメタ設定手段と、

前記分散パラメタ設定手段により生成されたコードにより値が設定される分散パラメタを用いてループインデックスおよび配列インデックスをローカル化するコードを生成するインデックスローカル化手段と、

を備えたことを特徴とするトランスレータ装置。

【産業上の利用可能性】

【0153】

以上のように、本発明に係るトランスレータプログラム、プログラム変換方法およびトランスレータ装置は、並列言語プログラムのコンパイラに有用であり、特に、並列言語プログラムが分散メモリ型計算機により分散処理される場合に適している。

10

【図面の簡単な説明】

【0154】

【図1-1】本実施例に係るプログラム変換による並列化の例(1)を示す図である。

【図1-2】本実施例に係るプログラム変換による並列化の例(2)を示す図である。

【図1-3】本実施例に係るプログラム変換による並列化の例(3)を示す図である。

【図2】本実施例に係るトランスレータプログラムの構成を示す機能構成図である。

【図3】グローバルインデックスからローカルインデックスを求める漸化式を示す図である。

【図4-1】ループパラメタローカル化部が生成するコードを示す図である。

20

【図4-2】ループパラメタに増分が存在しない場合に、ループパラメタローカル化部が生成するコードを示す図である。

【図4-3】不規則分散の場合に、ループパラメタローカル化部が生成するコードを示す図である。

【図5】増分を消し去るループ変換を示す図である。

【図6】コード生成部の処理手順を示す流れ図である。

【図7】分散Dの属性を示す図である。

【図8】gtolの定義を示す図である。

【図9】ltogの定義を示す図である。

【図10-1】gtol2の定義を示す図(1)である。

30

【図10-2】gtol2の定義を示す図(2)である。

【図11-1】gtol3の定義を示す図(1)である。

【図11-2】gtol3の定義を示す図(2)である。

【図11-3】gtol3の定義を示す図(3)である。

【図12】Lsize_supの定義を示す図である。

【図13-1】図23-3に示した入力例1に対してコード生成部が入力する内部表現のイメージを示す図である。

【図13-2】入力例1の変換後のプログラムを示す図である。

【図13-3】汎用最適化後のプログラムを示す図である。

【図14-1】図25-1に示した入力例2に対してコード生成部が入力する内部表現のイメージを示す図である。

40

【図14-2】初期値i1と終値i2を計算する式を示す図である。

【図14-3】入力例2の変換後のプログラムを示す図である。

【図15-1】図26-1に示した入力例3に対してコード生成部が入力する内部表現のイメージを示す図である。

【図15-2】入力例3の変換後のプログラムを示す図である。

【図16-1】入力例4に対してコード生成部が入力する内部表現のイメージを示す図である。

【図16-2】入力例4の変換後のプログラムを示す図である。

【図17】サイクリック分散の計算式のnを求める処理手順を示すフローチャートである

50

- 。
- 【図 1 8 - 1】入力例 5 に対してコード生成部が入力する内部表現のイメージを示す図である。
- 【図 1 8 - 2】指定されたデータ分散を示す図である。
- 【図 1 8 - 3】ループパラメタの値を示す図である。
- 【図 1 8 - 4】変換の途中結果を示す図である。
- 【図 1 8 - 5】多次元プロセッサ群とプロセッサとの対応付けを示す図である。
- 【図 1 8 - 6】ループパラメタの値を示す図である。
- 【図 1 8 - 7】ループパラメタの値を示す図である。
- 【図 1 8 - 8】入力例 5 の変換後のプログラムを示す図である。 10
- 【図 1 9】本実施例に係るトランスレータプログラムを実行するコンピュータシステムを示す図である。
- 【図 2 0】図 1 9 に示した本体部の構成を示す機能ブロック図である。
- 【図 2 1 - 1】データの分散を示す図である。
- 【図 2 1 - 2】ループの分散を示す図である。
- 【図 2 2】インデックス分割による分散の種類を示す図である。
- 【図 2 3 - 1】逐次プログラムを示す図である。
- 【図 2 3 - 2】OpenMPによる並列化を示す図である。
- 【図 2 3 - 3】HPFによる並列化（入力例 1）を示す図である。
- 【図 2 4 - 1】データおよびループのインデックス分割とプロセッサとの対応を示す図である。 20
- 【図 2 4 - 2】図 2 3 - 3 に示した並列言語プログラムに対して従来のコンパイラが出力するコードを示す図である。
- 【図 2 5 - 1】ブロック - サイクリック分散を用いる並列言語プログラムの例を示す図である。
- 【図 2 5 - 2】グローバルインデックスとローカルインデックスの対応を示す図である。
- 【図 2 5 - 3】図 2 5 - 1 に示した並列言語プログラムに対して生成される従来のコードを示す図である。
- 【図 2 6 - 1】不規則分散を用いる並列言語プログラムの例を示す図である。
- 【図 2 6 - 2】グローバルインデックスとローカルインデックスの対応を示す図である。 30
- 【図 2 6 - 3】図 2 6 - 1 に示した並列言語プログラムに対して生成される従来のコードを示す図である。
- 【図 2 7】数学記号の定義を示す図である。
- 【符号の説明】
- 【 0 1 5 5 】
- | | | |
|---------------|-----------------|----|
| 1 0 | FORTRANコンパイラ | |
| 1 0 0 | トランスレータプログラム | |
| 1 1 0 | 並列言語パーサ | |
| 1 2 0 | 最適化・正規化処理部 | |
| 1 3 0 | コード生成部 | 40 |
| 1 3 1 | 分散パラメタ設定部 | |
| 1 3 2 | ループインデックスローカル化部 | |
| 1 3 2 a | ループパラメタローカル化部 | |
| 1 3 2 b | ループ変数変換部 | |
| 1 3 3 | 配列形状ローカル化部 | |
| 2 0 0 , 2 1 1 | コンピュータシステム | |
| 2 0 1 | 本体部 | |
| 2 0 2 | ディスプレイ | |
| 2 0 2 a | 表示画面 | |
| 2 0 3 | キーボード | 50 |

2 0 4	マウス
2 0 6	L A N
2 0 7	公衆回線
2 0 8	フロッピィディスク
2 0 9	C D - R O M
2 1 2	サーバ
2 1 3	プリンタ
2 2 1	C P U
2 2 2	R A M
2 2 3	R O M
2 2 4	ハードディスクドライブ
2 2 5	C D - R O Mドライブ
2 2 6	フロッピィディスクドライブ
2 2 7	I / Oインタフェース
2 2 8	L A Nインタフェース
2 2 9	モデム

10

【図 1 - 1】

本実施例に係るプログラム変換による並列化の例(1)を示す図

```

-----
real a(0:249,1:1000)

do j=2,1000
  do i=0,249
    a(i,j)=a(i,j)+a(i,j-1)
  end do
end do
end
-----

```

【図 1 - 2】

本実施例に係るプログラム変換による並列化の例(3)を示す図

```

-----
real a(0:11,0:999)
integer,parameter ::
& MAP(12)={/2,1,3,4,3,2,4,4,1,2,2,4/}
integer mapArray(0:11), gtol(0:12), ltog(0:11)
!---- 初期化
do I=0,11
  mapArray(I)=MAP(I-1)-1
end do
gtol(0) = 0
i = 0
do k=0,11
  if (myID.EQ.mapArray(k)) then
    ltog(i) = k
    i = i+1
  end if
  gtol(k+1) = i
end do

!---- 実行
do j=1,1000
  do i=gtol(M),gtol(N+1)-1
    a(i,j) = a(i,j)+ltog(i)*a(i,j-1)
  end do
end do
end
-----

```

【図 1 - 3】

本実施例に係るプログラム変換による並列化の例(3)を示す図

```

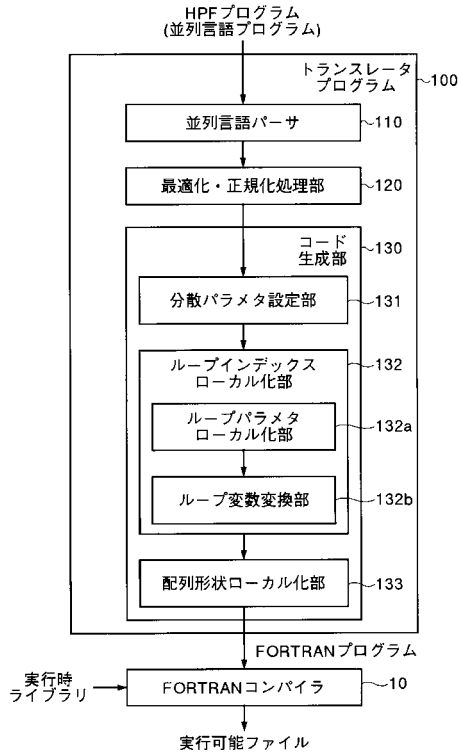
-----
real a(0:11,0:999)
integer,parameter ::
& MAP(12)={/2,1,3,4,3,2,4,4,1,2,2,4/}
integer mapArray(0:11), gtol(0:12), ltog(0:11)
!---- 初期化
do I=0,11
  mapArray(I)=MAP(I-1)-1
end do
gtol(0) = 0
i = 0
do k=0,11
  if (myID.EQ.mapArray(k)) then
    ltog(i) = k
    i = i+1
  end if
  gtol(k+1) = i
end do

!---- 実行
do j=1,1000
  do i=gtol(M),gtol(N+1)-1
    a(i,j) = a(i,j)+ltog(i)*a(i,j-1)
  end do
end do
end
-----

```

【図2】

本実施例に係るトランスレータプログラムの構成を示す機能構成図



【図3】

グローバルインデックスから
ローカルインデックスを求める漸化式を示す図

$$\begin{aligned}
 >ol(0) = 0 \\
 >ol(k) = \begin{cases} gtol(k-1)+1 & \text{for } 1 \leq k \leq N, M(k-1) = p \\ gtol(k-1) & \text{for } 1 \leq k \leq N, M(k-1) \neq p \end{cases}
 \end{aligned}$$

【図4-1】

ループパラメタローカル化部が生成するコードを示す図

変換前	変換後
DO I=I1, I2, I3 ループ本体 ENDDO	i1, i2, i3を求める計算コード DO I=i1, i2, i3 ループ本体 ENDDO

【図4-2】

ループパラメタに増分が存在しない場合に、
ループパラメタローカル化部が生成するコードを示す図

変換前	変換後
DO I=I1, I2 ループ本体 ENDDO	i1, i2を求める計算コード DO I=i1, i2 ループ本体 ENDDO

【図4-3】

不規則分散の場合に、
ループパラメタローカル化部が生成するコードを示す図

変換前	変換後
DO I=I1, I2 ループ本体 ENDDO	DO I=gtol(I1), gtol(I2+1)-1 ループ本体 ENDDO

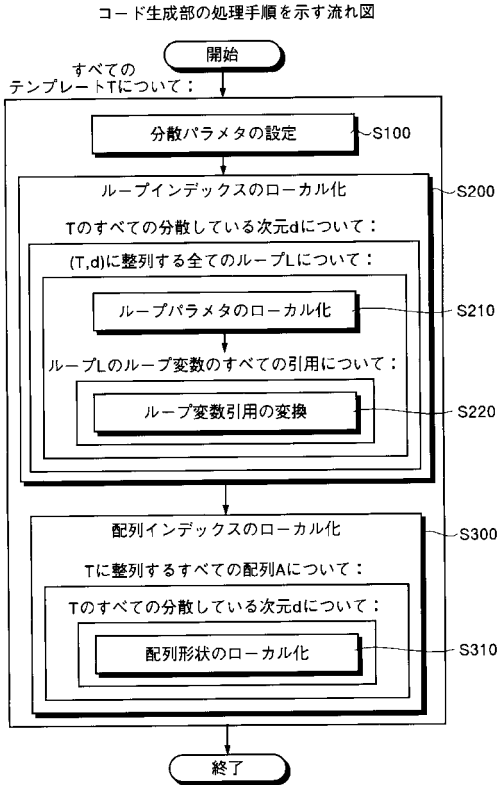
【図5】

増分を消し去るループ変換を示す図

```

• 変換前
DO I=I1, I2, I3
... ! loop body
ENDDO
• 変換後 (I3>0のとき)
DO I=I1, I2
IF (MOD(I-I1, I3).EQ.0) THEN
... ! loop body
ENDIF
ENDDO
• 変換後 (I3<0のとき)
DO I=I2, I1
IF (MOD(I-I1, I3).EQ.0) THEN
... ! loop body
ENDIF
ENDDO
    
```

【図6】



【図7】

分散Dの属性を示す図

文字	呼称	意味概略
d	分散種別	ブロック分散, サイクリック分散, 不均等ブロック分散, ブロック-サイクリック分散または不規則分散
P	プロセッサ数	プロセッサ群の着目する次元の寸法
N	配列の寸法	配列の着目する次元の寸法
w	ブロック幅	ブロック分散の幅。無指定の場合には $w = \lfloor N/P \rfloor$
W	ブロック幅配列	不均等ブロック分散で、各プロセッサのブロック幅
B	分散下限値	$B(p) = \sum W(p) \ 0 \leq p < P$
M	マッピング配列	不規則分散で、各インデックスに対応するプロセッサ番号

【図8】

gtolの定義を示す図

分散種別d	$i = \text{gtol}(D, I)$
ブロック分散	$I - p \cdot w$ または $\text{mod}(I, w)$
サイクリック分散	$\lfloor I/P \rfloor$
不均等ブロック分散	$I - B(p)$
ブロック-サイクリック分散	$w \lfloor I/(P \cdot w) \rfloor + \text{mod}(I, w)$

【図10-1】

gtol2の定義を示す図(1)

ブロック分散

$$i1 = \begin{cases} I1 - p \cdot w & \text{for } p \leq \lfloor I1/w \rfloor \\ 0 & \text{for } p > \lfloor I1/w \rfloor \end{cases}$$

$$i2 = \begin{cases} w - 1 & \text{for } p < \lfloor I2/w \rfloor \\ I2 - p \cdot w & \text{for } p \geq \lfloor I2/w \rfloor \end{cases}$$

ブロック分散の他の実現方法

$$i1 = \begin{cases} w & \text{for } p < \lfloor I1/w \rfloor \\ I1 - p \cdot w & \text{for } p = \lfloor I1/w \rfloor \\ 0 & \text{for } p > \lfloor I1/w \rfloor \end{cases}$$

$$i2 = \begin{cases} w - 1 & \text{for } p < \lfloor I2/w \rfloor \\ I2 - p \cdot w & \text{for } p = \lfloor I2/w \rfloor \\ -1 & \text{for } p > \lfloor I2/w \rfloor \end{cases}$$

ブロック分散の他の実現方法

以下のようにループを実行しないという判断を加えることもできる。
 $p < \lfloor I1/w \rfloor$ または $p > \lfloor I2/w \rfloor$ なら、ループをスキップする。

ブロック分散の他の実現方法

条件式

$$p < \lfloor I1/w \rfloor \quad p = \lfloor I1/w \rfloor \quad p > \lfloor I1/w \rfloor$$

の代わりに、それぞれ

$$p \cdot w < I1 \quad p \cdot w = I1 \quad p \cdot w > I1$$

を用いてもよい。不等号 \geq , \leq についても同様である。
 $I2$ についても同様である。

【図9】

ltogの定義を示す図

分散種別d	$I = \text{ltog}(D, i, p)$
ブロック分散	$i + p \cdot w$
サイクリック分散	$P \cdot i + p$
不均等ブロック分散	$i + B(p)$
ブロック-サイクリック分散	$P \cdot w \lfloor i/w \rfloor + p \cdot w + \text{mod}(i, w)$

【 図 1 0 - 2 】

gto12の定義を示す図(2)

不均等ブロック分散

$$i1 = \begin{cases} I1 - B(p) & \text{for } B(p) \leq I1 \\ 0 & \text{for } B(p) > I1 \end{cases}$$

$$i2 = \begin{cases} W(p) - 1 & \text{for } B(p+1) \leq I2 \\ I2 - B(p) & \text{for } B(p+1) > I2 \end{cases}$$

不均等ブロック分散の他の実現方法

$$i1 = \begin{cases} W(p) & \text{for } B(p) < I1 \\ I1 - B(p) & \text{for } B(p) = I1 \\ 0 & \text{for } B(p) > I1 \end{cases}$$

$$i2 = \begin{cases} W(p) - 1 & \text{for } B(p) < I2 \\ I2 - B(p) & \text{for } B(p) = I2 \\ -1 & \text{for } B(p) > I2 \end{cases}$$

不均等ブロック分散の他の実現方法
以下のようにループを実行しないという判断を加えることもできる。
B(p) < i1またはB(p) > I2なら、ループをスキップする。

サイクリック分散

$$i1 = \lfloor (I1 - p) / P \rfloor$$

$$i2 = \lfloor (I2 - p) / P \rfloor$$

ブロック-サイクリック分散

$$i1 = \begin{cases} w \lfloor \frac{I1}{Pw} \rfloor + w & \text{for } p < \text{mod}(\lfloor I1 / w \rfloor, P) \\ w \lfloor \frac{I1}{Pw} \rfloor + \text{mod}(I1, w) & \text{for } p = \text{mod}(\lfloor I1 / w \rfloor, P) \\ w \lfloor \frac{I1}{Pw} \rfloor & \text{for } p > \text{mod}(\lfloor I1 / w \rfloor, P) \end{cases}$$

$$i2 = \begin{cases} w \lfloor \frac{I2}{Pw} \rfloor + w - 1 & \text{for } p < \text{mod}(\lfloor I2 / w \rfloor, P) \\ w \lfloor \frac{I2}{Pw} \rfloor + \text{mod}(I2, w) & \text{for } p = \text{mod}(\lfloor I2 / w \rfloor, P) \\ w \lfloor \frac{I2}{Pw} \rfloor - 1 & \text{for } p > \text{mod}(\lfloor I2 / w \rfloor, P) \end{cases}$$

【 図 1 1 - 1 】

gto13の定義を示す図(1)

ブロック分散

$$i1 = \begin{cases} I1 - pw & \text{for } p \leq \lfloor I1 / w \rfloor \\ \text{mod}(I1 - pw, I3) & \text{for } p > \lfloor I1 / w \rfloor \end{cases}$$

$$i2 = \begin{cases} w - 1 & \text{for } p < \lfloor I2 / w \rfloor \\ I2 - pw & \text{for } p \geq \lfloor I2 / w \rfloor \end{cases}$$

$$i3 = I3$$

I3 < 0のとき

$$i1 = \begin{cases} w - 1 - \text{mod}(pw + w - 1 - I1, -I3) & \text{for } p < \lfloor I1 / w \rfloor \\ I1 - pw & \text{for } p \geq \lfloor I1 / w \rfloor \end{cases}$$

$$i2 = \begin{cases} I2 - pw & \text{for } p \leq \lfloor I2 / w \rfloor \\ 0 & \text{for } p > \lfloor I2 / w \rfloor \end{cases}$$

$$i3 = I3$$

ブロック分散の他の実現方法

$$i1 = \begin{cases} w & \text{for } p < \lfloor I1 / w \rfloor \\ I1 - pw & \text{for } p = \lfloor I1 / w \rfloor \\ \text{mod}(I1 - pw, I3) & \text{for } p > \lfloor I1 / w \rfloor \end{cases}$$

$$i2 = \begin{cases} w - 1 & \text{for } p < \lfloor I2 / w \rfloor \\ I2 - pw & \text{for } p = \lfloor I2 / w \rfloor \\ -1 & \text{for } p > \lfloor I2 / w \rfloor \end{cases}$$

$$i3 = I3$$

ブロック分散の他の実現方法
以下のようにループを実行しないという判断を加えることもできる。
I3 > 0のとき
p < ⌊I1/w⌋ または p > ⌊I2/w⌋ なら、ループをスキップする。
I3 < 0のとき
p > ⌊I1/w⌋ または p < ⌊I2/w⌋ なら、ループをスキップする。

ブロック分散の他の実現方法
条件式
p < ⌊I1/w⌋ p = ⌊I1/w⌋ p > ⌊I1/w⌋
の代りに、それぞれ
pw < I1 pw = I1 pw > I1
を用いてもよい。不等号≧、≦についても同様である。I2についても同様である。

【 図 1 1 - 2 】

gto13の定義を示す図(2)

不均等ブロック分散

$$i1 = \begin{cases} I1 - B(p) & \text{for } B(p) \leq I1 \\ \text{mod}(I1 - B(p), I3) & \text{for } B(p) > I1 \end{cases}$$

$$i2 = \begin{cases} W(p) - 1 & \text{for } B(p+1) \leq I2 \\ I2 - B(p) & \text{for } B(p+1) > I2 \end{cases}$$

$$i3 = I3$$

I3 < 0のとき

$$i1 = \begin{cases} W(p) - 1 - \text{mod}(B(p+1) - 1 - I1, -I3) & \text{for } B(p+1) \leq I1 \\ I1 - B(p) & \text{for } B(p+1) > I1 \end{cases}$$

$$i2 = \begin{cases} I2 - B(p) & \text{for } B(p) \leq I2 \\ 0 & \text{for } B(p) > I2 \end{cases}$$

$$i3 = I3$$

L(p)はmyLBに置換えてもよい。

不均等ブロック分散の他の実現方法

$$i1 = \begin{cases} W(p) & \text{for } B(p) < I1 \\ I1 - B(p) & \text{for } B(p) = I1 \\ \text{mod}(I1 - B(p), I3) & \text{for } B(p) > I1 \end{cases}$$

$$i2 = \begin{cases} W(p) - 1 & \text{for } B(p) < I2 \\ I2 - B(p) & \text{for } B(p) = I2 \\ -1 & \text{for } B(p) > I2 \end{cases}$$

$$i3 = I3$$

I3 < 0のとき

$$i1 = \begin{cases} B(p+1) - 1 - \text{mod}(B(p+1) - 1 - I1, -I3) & \text{for } B(p) < I1 \\ I1 - B(p) & \text{for } B(p) = I1 \\ -1 & \text{for } B(p) > I1 \end{cases}$$

$$i2 = \begin{cases} W(p) & \text{for } B(p) < I2 \\ I2 - B(p) & \text{for } B(p) = I2 \\ 0 & \text{for } B(p) > I2 \end{cases}$$

$$i3 = I3$$

不均等ブロック分散の他の実現方法
以下のようにループを実行しないという判断を加えることもできる。
I3 > 0のとき
B(p) < i1またはB(p) > I2なら、ループをスキップする。
I3 < 0のとき
B(p) > i1またはB(p) < I2なら、ループをスキップする。

【 図 1 1 - 3 】

gto13の定義を示す図(3)

サイクリック分散

$$t = \text{GCD}(P, I3)$$

$$I1 + n I3 = p \pmod{P}$$

$$0 \leq n < P / t$$

このnを求めるアルゴリズムを図17に示す。
GCDはユークリッドの互除法としてよく知られたアルゴリズムで求めることができる。

$$i1 = \begin{cases} (I1 + n I3 - p) / P & \text{for } p = I1 \pmod{t} \text{ (nが存在するとき)} \\ \text{正の最大数} & \text{otherwise (nが存在しないとき)} \end{cases}$$

$$i2 = \lfloor (I2 - p) / P \rfloor$$

$$i3 = I3 / t$$

nが存在しないとき、i1の値はi2より大きな値であれば任意でよい。

I3 < 0のとき
同様にnを求める。

$$i1 = \begin{cases} (I1 + n I3 - p) / P & \text{for } p = I1 \pmod{t} \text{ (nが存在するとき)} \\ -1 & \text{otherwise (nが存在しないとき)} \end{cases}$$

$$i2 = \lfloor (I2 - p) / P \rfloor$$

$$i3 = I3 / t$$

nが存在しないとき、i1の値はi2より小さな値であれば任意でよい。

サイクリック分散の他の実現方法
以下のようにループを実行しないという判断を加えることもできる。
I3 > 0のとき
nが存在しないなら、ループをスキップする。
I3 < 0のとき
nが存在しないなら、ループをスキップする。

サイクリック分散の他の実現方法
nが存在する/しないは、p = I1 (mod t)が否か、すなわち、mod(I1 - p, t) = 0が否かで判定してもよい。

【 図 1 2 】

Lsize_supの定義を示す図

分散種別d	lsize sup(D)
ブロック分散	w
サイクリック分散	[N / P]
不均等ブロック分散	max{W(q) : 0 ≤ q < P}
ブロック-サイクリック分散	w [N / (P w)]

【 図 1 3 - 1 】

図23-3に示した入力例1に対して
コード生成部が入力する内部表現のイメージを示す図

```

real A(0:999,1000)
!hpf$ processors P(0:3)
!hpf$ distribute A(block,*) onto P

do J=2,1000
!hpf$ independent, on home(A(I,:))
do I=0,999
A(I,J)=A(I,J)+A(I,J-1)
end do
end

```

【 図 1 3 - 2 】

入力例1の変換後のプログラムを示す図

```

real a(0:249,1:1000)
CALL mpi_comm_rank(MPI_COMM_WORLD,myID,...)

do j=2,1000
if (myID.le.0) then
i1=-250*myID
else .
i1=0
endif
if (myID.lt.3) then
i2=249
else
i2=999-250*myID
endif
do i=i1,i2
a(i,j)=a(i,j)+a(i,j-1)
end do
end do
end

```

【 図 1 4 - 1 】

図25-1に示した入力例2に対して
コード生成部が入力する内部表現のイメージを示す図

```

real A(0:999,1000)
!hpf$ processors P(4)
!hpf$ distribute A(cyclic(5),*) onto P

do J=2,1000
!hpf$ independent, on home(A(I,:))
do I=1,998
A(I,J)=A(I,J)+A(I,J-1)
end do
end do
end

```

【 図 1 4 - 2 】

初期値i1と終値i2を計算する式を示す図

$5 * [1 / (4 * 5)] + 5$	= 5	for p < 0
$i1 = \begin{cases} 5 * [1 / (4 * 5)] + \text{mod}(1, 5) \\ 5 * [1 / (4 * 5)] \end{cases}$	= 1	for p = 0
	= 0	for p > 0
$5 * [998 / (4 * 5)] + 5 - 1$	= 249	for p < 3
$i2 = \begin{cases} 5 * [998 / (4 * 5)] + \text{mod}(998, 5) \\ 5 * [998 / (4 * 5)] - 1 \end{cases}$	= 248	for p = 3
	= 244	for p > 3

【 図 1 3 - 3 】

汎用最適化実施後のプログラムを示す図

```

real a(0:249,1:1000)
CALL mpi_comm_rank(MPI_COMM_WORLD,myID,...)

do j=2,1000
do i=0,249
a(i,j)=a(i,j)+a(i,j-1)
end do
end do
end

```

【 図 1 4 - 3 】

入力例2の変換後のプログラムを示す図

```

real a(0:249,1:1000)
CALL mpi_comm_rank(MPI_COMM_WORLD,myID,...)

do j=2,1000
  if (myID.eq.0) then
    i1=1
  else
    i1=0
  endif
  if (myID.lt.3) then
    i2=249
  else
    i2=248
  endif
  do i=i1,i2
    a(i,j)=a(i,j)+a(i,j-1)
  end do
end do
end

```

【 図 1 5 - 1 】

図26-1に示した入力例3に対して
コード生成部が入力する内部表現イメージを示す図

```

real A(0:11,0:999)
integer,parameter ::
& MAP(12)=(/2,1,3,4,3,2,4,4,1,2,2,4/)
!hpF$ processors P(4)
!hpF$ distribute A(indirect(MAP),*) onto P

do J=1,1000
!hpF$ independent, on home(A(I,:))
do I=M,N
  A(I,J)=A(I,J)+A(I,J-1)*I
end do
end do
end

```

【 図 1 5 - 2 】

入力例3の変換後のプログラムを示す図

```

real a(0:11,0:999)
integer,parameter ::
& MAP(12)=(/2,1,3,4,3,2,4,4,1,2,2,4/)
integer mapArray(0:11), gtol(0:12), ltog(0:11)
!---- 初期化
CALL mpi_comm_rank(MPI_COMM_WORLD,myID,...)
do I=0,11
  mapArray(I)=MAP(I)-1
end do
gtol(0) = 0
i = 0
do k=0,11
  if (myID.EQ.mapArray(k)) then
    ltog(i) = k
    i = i+1
  end if
  gtol(k+1) = i
end do

!---- 実行
do j=1,1000
  do i=gtol(M),gtol(N+1)-1
    a(i,j) = a(i,j)+ltog(i)*a(i,j-1)
  end do
end do
end

```

【 図 1 6 - 1 】

入力例4に対してコード生成部が入力する内部表現のイメージを示す図

```

real X(100,100,0:23)
!hpF$ processors Q(0:5)
!hpF$ distribute X(*,*,cyclic) onto Q

!hpF$ independent, on home(X(:,*,k))
do k=4,20,4
  do j=1,100
    do i=1,100
      X(i,j,k)=i*j*k
    end do
  end do
end do
end

```

【図16-2】

入力例4の変換後のプログラムを示す図

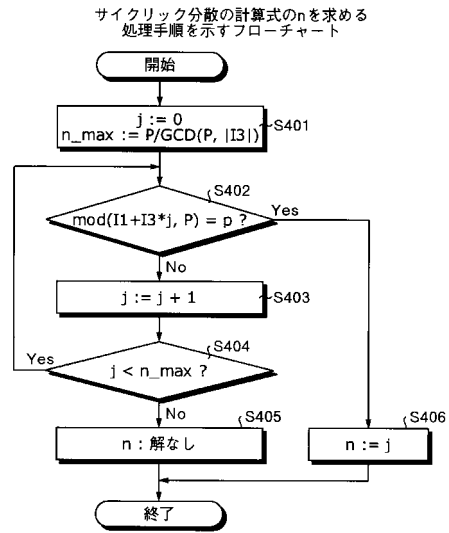
```

REAL x(1:100,1:100,0:3)
INTEGER i,j,k
INTEGER myID
INTEGER k1,k2,k3
INTEGER n_cyc
INTEGER,EXTERNAL:: cyclic_f
CALL mpi_comm_rank(MPI_COMM_WORLD,myID,...)
n_cyc = cyclic_f(4,4,6,myID,2)
IF (n_cyc.NE.-1) THEN
  k1 = (4+n_cyc*4-myID)/6
  k2 = (26-myID)/6-1
  k3 = 2
  DO k=k1,k2,k3
    DO j=1,100,1
      DO i=1,100,1
        x(i,j,k) = i*j*(6*k+myID)
      ENDDO
    ENDDO
  ENDDO
ENDIF
END

INTEGER FUNCTION cyclic_f(i1,i3,P,myID,t)
INTEGER i1,i3,P,myID,t
INTEGER j,n,n_max
j = 0
n = -1
n_max = P/t
2000 CONTINUE
IF (mod(i1+i3*j,P).EQ.myID) THEN
  n = j
ELSE
  j = j+1
  IF (j.LT.n_max) GOTO 2000
ENDIF
cyclic_f = n
END FUNCTION

```

【図17】



【図18-1】

入力例5に対してコード生成部が入力する内部表現のイメージを示す図

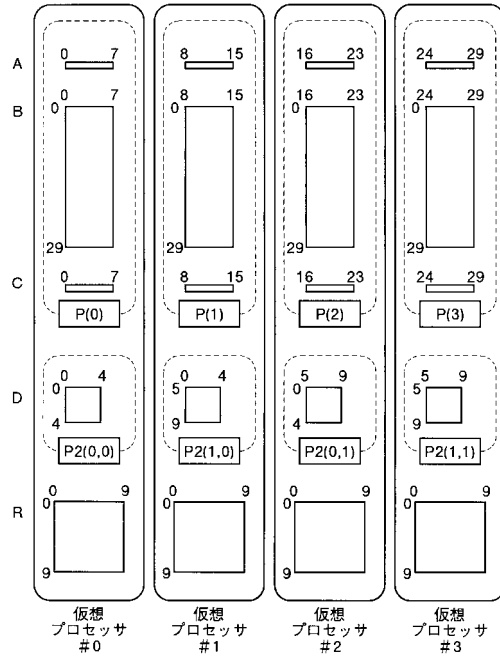
```

1 !hpf$ processors P(0:3),P2(0:1,0:1)
2 real A(0:29),B(0:29,0:29),C(0:29),D(0:9,0:9),R(0:9,0:9)
3 !hpf$ template T1(0:29),T2(0:29,0:29)
4 !hpf$ distribute T1(block(8)) onto P
5 !hpf$ distribute T2(block(5),block(5)) onto P2
6 !hpf$ align A(:) with T1(:)
7 !hpf$ align B(*,:) with T1(:)
8 !hpf$ align C(:) with T1(:)
9 !hpf$ align D(:,) with T2(:,)
10
11 !hpf$ independent, new(j)
12 L1: do i=1,28
13 !hpf$ on home(T1(i))
14 A(i)=B(i,i)+C(i)
15 do j=1,10
16 B(j,i)=0.1*i+j
17 end do
18 end do
19
20 !hpf$ independent, new(i)
21 L3: do j=1,9,2
22 !hpf$ on home(T2(i,j))
23 !hpf$ independent
24 L2: do i=0,j
25 !hpf$ on home(T2(i,j))
26 D(i,j)=R(i,j)
27 end do
28 end do
29
30 end

```

【図18-2】

指定されたデータ分散を示す図



【 図 1 8 - 3 】

ループパラメタの値を示す図

i1	1-myLB1	for myID1 ≤ 0
	0	for myID1 > 0
i2	7	for myID1 < 3
	28-myLB1	for myID1 ≥ 3

【 図 1 8 - 4 】

変換の途中結果を示す図

```

1 !hpf$ processors P2(0:1,0:1)
2 real A(0:7),B(0:29,0:7),C(0:7),D(0:9,0:9),R(0:9,0:9)
3 !hpf$ template T2(0:29,0:29)
4 !hpf$ distribute T2(block(5),block(5)) onto P2
5 !hpf$ align D(:,:) with T2(:,:)
6 integer myID1,myLB1,ib1,ie1
7
8 CALL mpi_comm_rank(MPI_COMM_WORLD,RANK,ierr)
9 myID1=RANK
10 myLB1=8*myID1
11
12 if (myID1.le.0) then
13   ib1=1-myLB1
14 else
15   ib1=0
16 endif
17 if (myID1.lt.3) then
18   ie1=7
19 else
20   ie1=28-myLB1
21 endif
22
23 L1: do i=ib1,ie1
24   A(i)=B(i+myLB1,i)+C(i)
25   do j=1,10
26     B(j,i)=0.1*(i+myLB1)*j
27   end do
28 end do
29
30 !hpf$ independent, new(i)
31 L3: do j=1,9,2
32 !hpf$ on home(T2(:,j))
33 !hpf$ independent
34 L2: do i=0,j
35 !hpf$ on home(T2(i,:))
36   D(i,j)=R(i,j)
37 end do
38 end do
39 end

```

【 図 1 8 - 5 】

多次元プロセッサ群とプロセッサとの対応付けを示す図

ユーザ定義 プロセッサ	プロセッサ 番号p1	プロセッサ 番号p2	MPIのrank
P2(0,0)	0	0	0
P2(1,0)	1	0	1
P2(0,1)	0	1	2
P2(1,1)	1	1	3

【 図 1 8 - 8 】

入力例5の変換後のプログラムを示す図

```

2 real A(0:7),B(0:29,0:7),C(0:7),D(0:4,0:4),R(0:9,0:9)
3 integer myID1,myLB1,ib1,ie1
4 integer myID2,myLB2, myID3,myLB3
5 integer ie2,ib3,ie3
6
7 CALL mpi_comm_rank(MPI_COMM_WORLD,RANK,ierr)
8 myID1=RANK
9 myLB1=8*myID1
10 myID2=MOD(RANK,2)
11 myID3=RANK/2
12 myLB2=5*myID2
13 myLB3=5*myID3
14
15 if (myID1.le.0) then ; ib1=1-myLB1
16 else ; ib1=0
17 endif
18 if (myID1.lt.3) then ; ie1=7
19 else ; ie1=28-myLB1
20 endif
21
22 L1: do i=ib1,ie1
23   A(i)=B(i+myLB1,i)+C(i)
24   do j=1,10
25     B(j,i)=0.1*(i+myLB1)*j
26   end do
27 end do
28
29 if (myID3.le.0) then
30   ib3=1-myLB3
31 else
32   ib3=MODULO(1-myLB3,2)
33 endif
34 if (myID3.lt.1) then
35   ie3=4
36 else
37   ie3=9-myLB3
38 endif
39 L3: do j=ib3,ie3,2
40   if (myID2.lt.1) then
41     ie2=4
42     else
43     ie2=j-myLB2
44   endif
45   L2: do i=0,ie2
46     D(i,j)=R(i+myLB2,j+myLB3)
47   end do
48 end do
49
50 end

```

【 図 1 8 - 6 】

ループパラメタの値を示す図

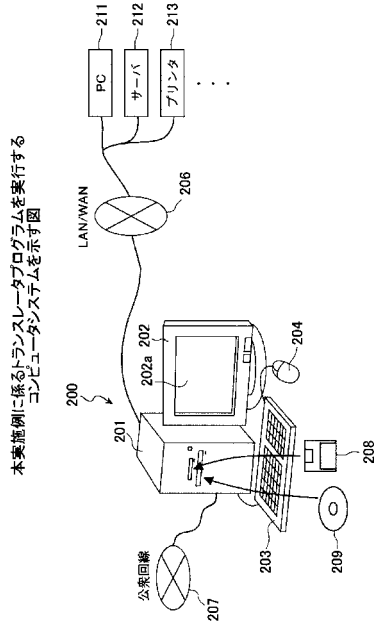
ib2	0-myLB2	for myID2 ≤ 0
	0	for myID2 > 0
ie2	4	for myID2 < 1
	j-myLB2	for myID2 ≥ 1

【 図 1 8 - 7 】

ループパラメタの値を示す図

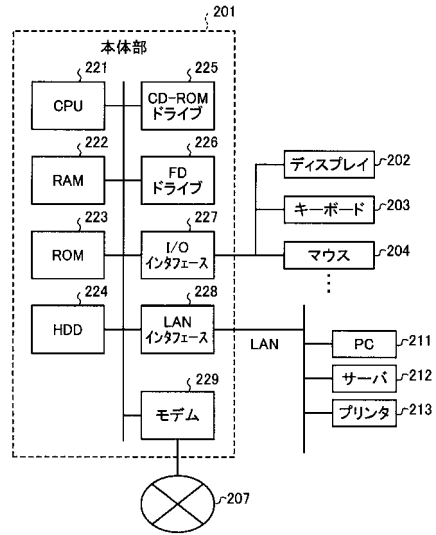
ib3	1-myLB3	for myID3 ≤ 0
	modulo(1-myLB3,2)	for myID3 > 0
ie3	4	for myID3 < 1
	9-myLB3	for myID3 ≥ 1
is3	= 2	

【図19】

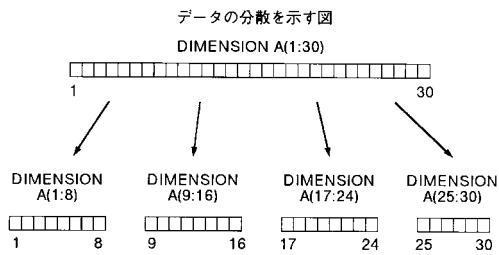


【図20】

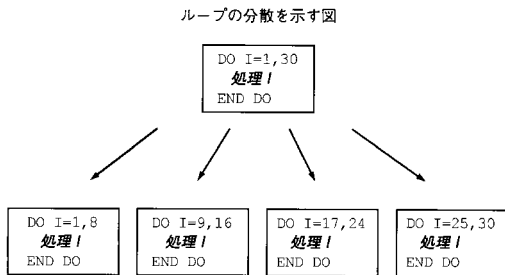
図19に示した本体部の構成を示す図



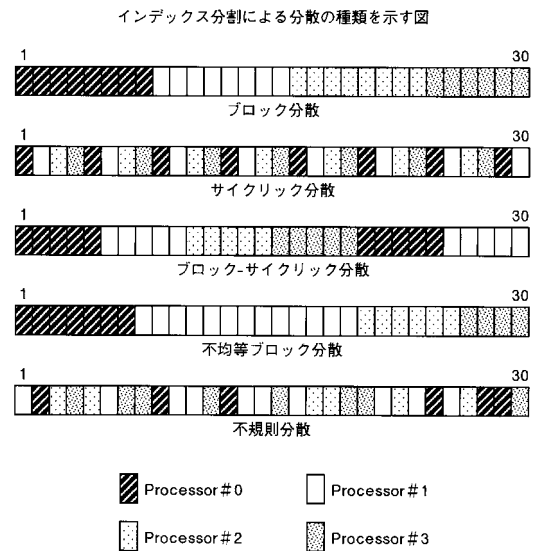
【図21-1】



【図21-2】



【図22】



【 図 2 3 - 1 】

逐次プログラムを示す図

```

-----
real A(1000,1000)

do J=2,1000
  do I=1,1000
    A(I,J)=A(I,J)+A(I,J-1)
  end do
end do
end
-----

```

【 図 2 3 - 3 】

HPFによる並列化(入力例1)を示す図

```

-----
real A(1000,1000)
!hpf$ processors P(0:3)
!hpf$ distribute A(block,*) onto P

do J=2,1000
!hpf$ independent
  do I=1,1000
    A(I,J)=A(I,J)+A(I,J-1)
  end do
end do
end
-----

```

【 図 2 3 - 2 】

OpenMPによる並列化を示す図

```

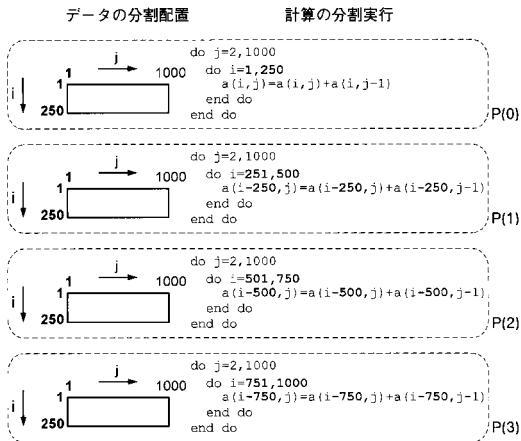
-----
real A(1000,1000)

do J=2,1000
!$omp parallel do
  do I=1,1000
    A(I,J)=A(I,J)+A(I,J-1)
  end do
end do
end
-----

```

【 図 2 4 - 1 】

データおよびループのインデックス分割とプロセッサとの対応を示す図



【 図 2 4 - 2 】

図23-3に示した並列言語プログラムに対して従来のコンパイラが出力するコードを示す図

```

-----
real a(1:250,1:1000) !分割後のサイズで各プロセッサに割付け

myLB=250*myID+1 !プロセッサ毎の担当範囲の下限值
myUB=myLB+249 !同、上限値

do j=1,1000
  do I=myLB,myUB
    a(I-myLB+1,j)=a(I-myLB+1,j)+a(I-myLB+1,j-1)
  end do
end do
end
-----

```

【図 25 - 1】

ブロック-サイクリック分散を用いる
並列言語プログラムの例(入力例2)を示す図

```

real A(1:1000,1:1000)
!hpf$ processors P(4)
!hpf$ distribute A(cyclic(5),*) onto P !幅5のブロック-サイクリック
do J=1,1000
!hpf$ independent
do I=2,999 !配列の形状と一致しない
A(I,J)=A(I,J)+A(I,J-1)
end do
end do
end
    
```

【図 25 - 2】

グローバルインデックスと
ローカルインデックスの対応を示す図

プロセッサ	p	ローカルインデックス											グローバルインデックス					
		1	2	3	4	5	6	7	8	9	10	11	...	246	247	248	249	250
P(0)	0	1	2	3	4	5	21	22	23	24	25	41	...	981	982	983	984	985
P(1)	1	6	7	8	9	10	26	27	28	29	30	46	...	986	987	988	989	990
P(2)	2	11	12	13	14	15	31	32	33	34	35	51	...	991	992	993	994	995
P(3)	3	16	17	18	19	20	36	37	38	39	40	56	...	996	997	998	999	1000

【図 25 - 3】

図25-1に示した並列言語プログラムに対して
生成された従来のコードを示す図

```

real a(1:250,1:1000) !分割後のサイズで圧縮して割付け
myLB1=5*myID+1 !プロセッサ毎の最初のブロックの下限値
myUB1=myLB1+990 !プロセッサ毎の最後のブロックの下限値
myST1=20 !ブロック間の距離
myLB2=0
IF(myID.eq.0) myLB2=1 !ループ初期値のずれを考慮
myUB2=4
IF(myID.eq.3) myUB2=3 !ループ終値のずれを考慮

do j=1,1000
do I1=myLB1,myUB1,myST1
do I=I1+myLB2,I1+myUB2
a((I-1)/20*5+MODULO(I-1,5)+1,j)=
& a((I-1)/20*5+MODULO(I-1,5)+1,j)+
& a((I-1)/20*5+MODULO(I-1,5)+1,j-1)
end do
end do
end do
end
    
```

【図 26 - 1】

不規則分散を用いる並列言語プログラムの例(入力例3)を示す図

```

real A(0:11,0:999)
integer,parameter ::
& MAP(12)=(/2,1,3,4,3,2,4,4,1,2,2,4/)
!hpf$ processors P(4)
!hpf$ distribute A(indirect(MAP),*) onto P !対応表MAPで
!表される分散

do J=1,1000
!hpf$ independent
do I=M,N
A(I,J)=A(I,J)+I*A(I,J-1)
end do
end do
end
    
```

【図 26 - 2】

グローバルインデックスとローカルインデックスの対応を示す図

プロセッサ	p	ローカルインデックス			
		1	2	3	4
P(0)	0	2	9		
P(1)	1	1	6	10	11
P(2)	2	3	5		
P(3)	3	4	7	8	12

【図 26 - 3】

図26-1に示した並列言語プログラムに対して
生成される従来のコードを示す図

```

real A(0:11,0:999)
integer,parameter ::
& MAP(1:12)=(/2,1,3,4,3,2,4,4,1,2,2,4/)
integer GTOL(1:12),icount(4)
!--- 初期化
do id=1,4
icount(id)=0
end do
do I=1,12
icount(MAP(I)) = icount(MAP(I))+1
GTOL(I) = icount(MAP(I))
end do

!--- 実行
do j=1,1000
do I=M,N
if (myID.eq.MAP(I)) then
A(GTOL(I),j)=A(GTOL(I),j)+I*A(GTOL(I),j-1)
endif
end do
end do
end
    
```

【 図 27 】

数学記号の定義を示す図

$\lceil x \rceil$	xより小さい最大の整数 (ceiling関数)
$\lfloor x \rfloor$	xより大きくない最大の整数 (floor関数)
$\text{mod}(x, y)$	剰余関数。 $\text{mod}(x, y) = x - \lfloor x/y \rfloor y$ 例えば $\text{mod}(8,5) = 3$ 、 $\text{mod}(-8,5) = 2$
$\text{GCD}(x, y)$	xとyの最小公倍数
$ x $	xの絶対値

フロントページの続き

(56)参考文献 特開平11-282814(JP,A)

特開平08-255086(JP,A)

特開平08-221276(JP,A)

浅岡香枝、平野彰雄、岡部寿男、金澤正憲、NPBを用いたHPF/JA拡張のVPP上での評価、情報処理学会研究報告、日本、社団法人情報処理学会、2002年3月8日、Vol.2002, No.22, pp.133~138

左近彰一、田村正典、妹尾義樹、村井均、SX-5シリーズのHPFコンパイラ、NEC技報、日本、日本電気株式会社、1999年11月25日、Vol.52, No.11, pp.71~74

岩下英俊、進藤達也、岡田信、VPP Fortran:分散メモリ型並列計算機言語、情報処理学会論文誌、日本、社団法人情報処理学会、1995年7月15日、Vol.36, No.7, pp.1542~1550

(58)調査した分野(Int.Cl., DB名)

G06F 9/45